TCMPE Transferts Couplés en milieux Poreux et Environnement

R. Bennacer

Stephane POYET CEA Saclay Approche phenom. Materiaux cimentaires

Kamila ABAHRI ENS PSa Approche phenom. Materiaux plus perméables HT

Approche thermodynamique micro-macro
Equilibre thermodynamique
Hors Equilibre thermodynamique (Linéaire)
Hors Equilibre thermodynamique (non-Linéaire)



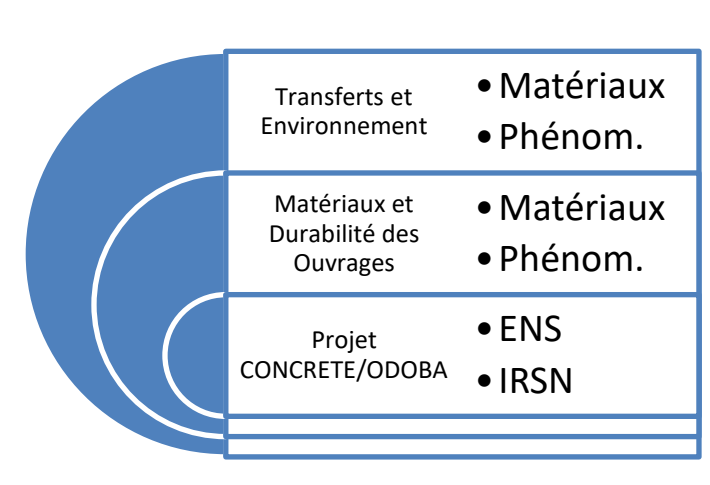


Introduction/Démarche

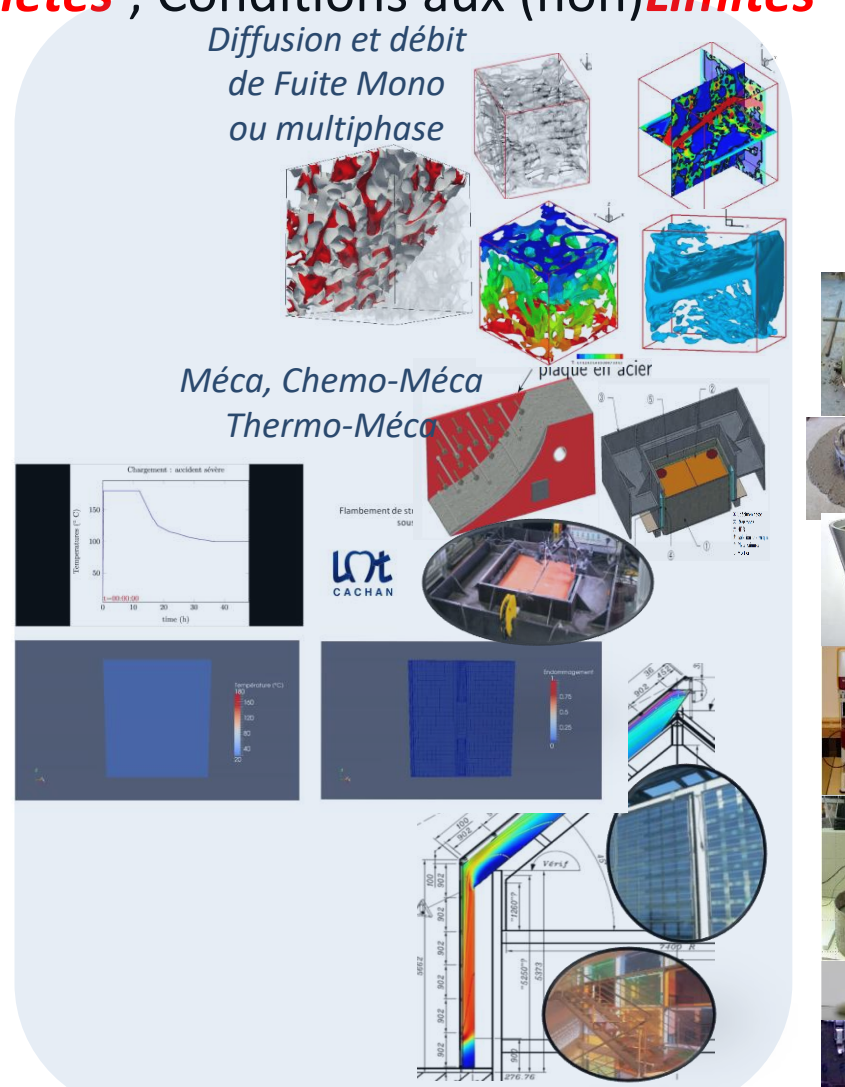
R. Bennacer Defis:

- Prédiction long terme
- Propriétés des matériaux vis avis de la multiphysique
- Physique adéquate

Modèles adéquats ; Propriétés ; Conditions aux (non)Limites



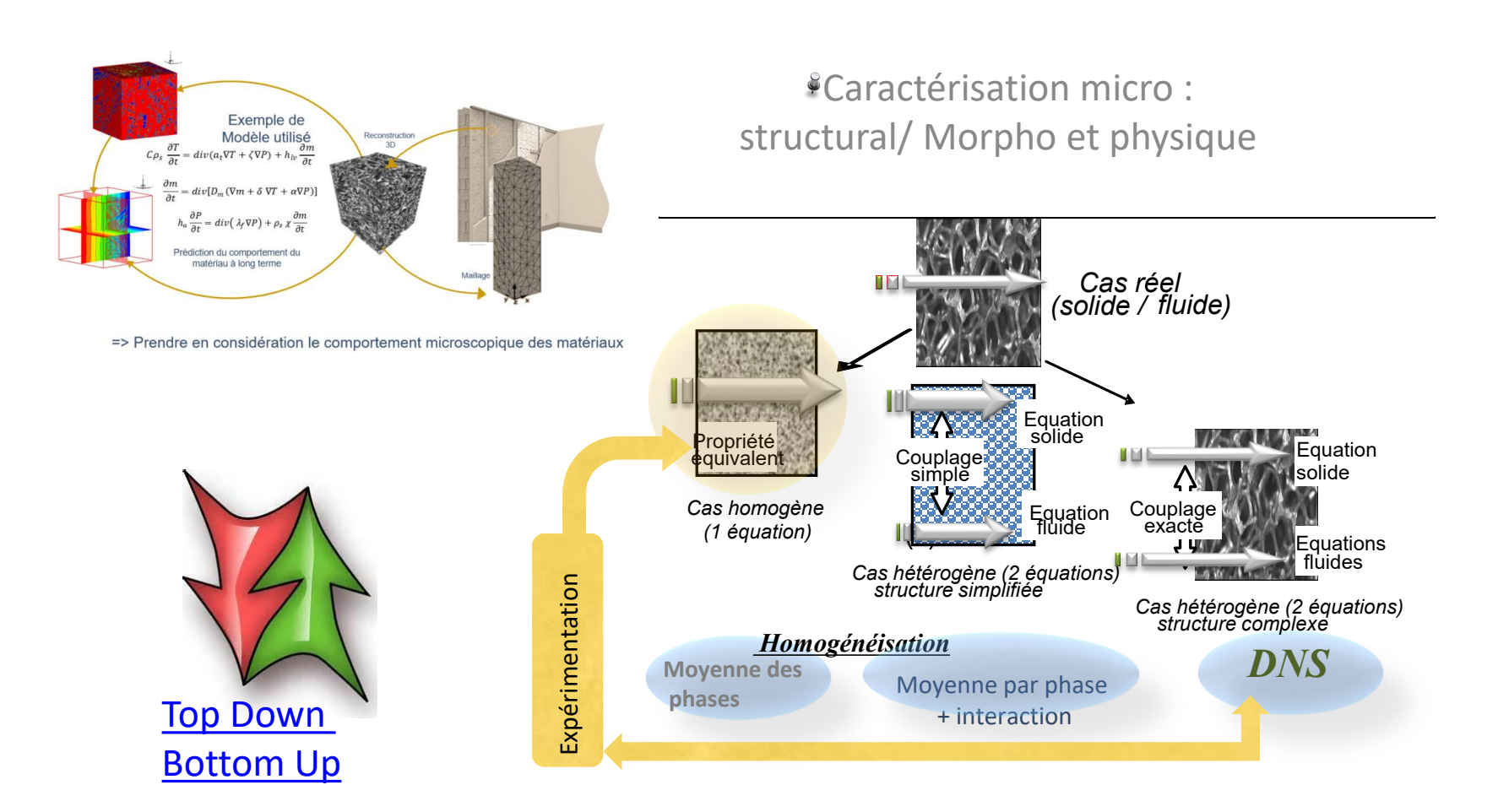




Defis:

- Prédiction long terme
- Propriétés des matériaux vis avis de la multiphysique
- Modèles adéquats ; Propriétés ; Conditions aux Limites

Stratégie mise en oeuvre



Applications

Construction/Matériaux

Réduction des échanges : Isolation

Accroissement des échanges : Echangeurs

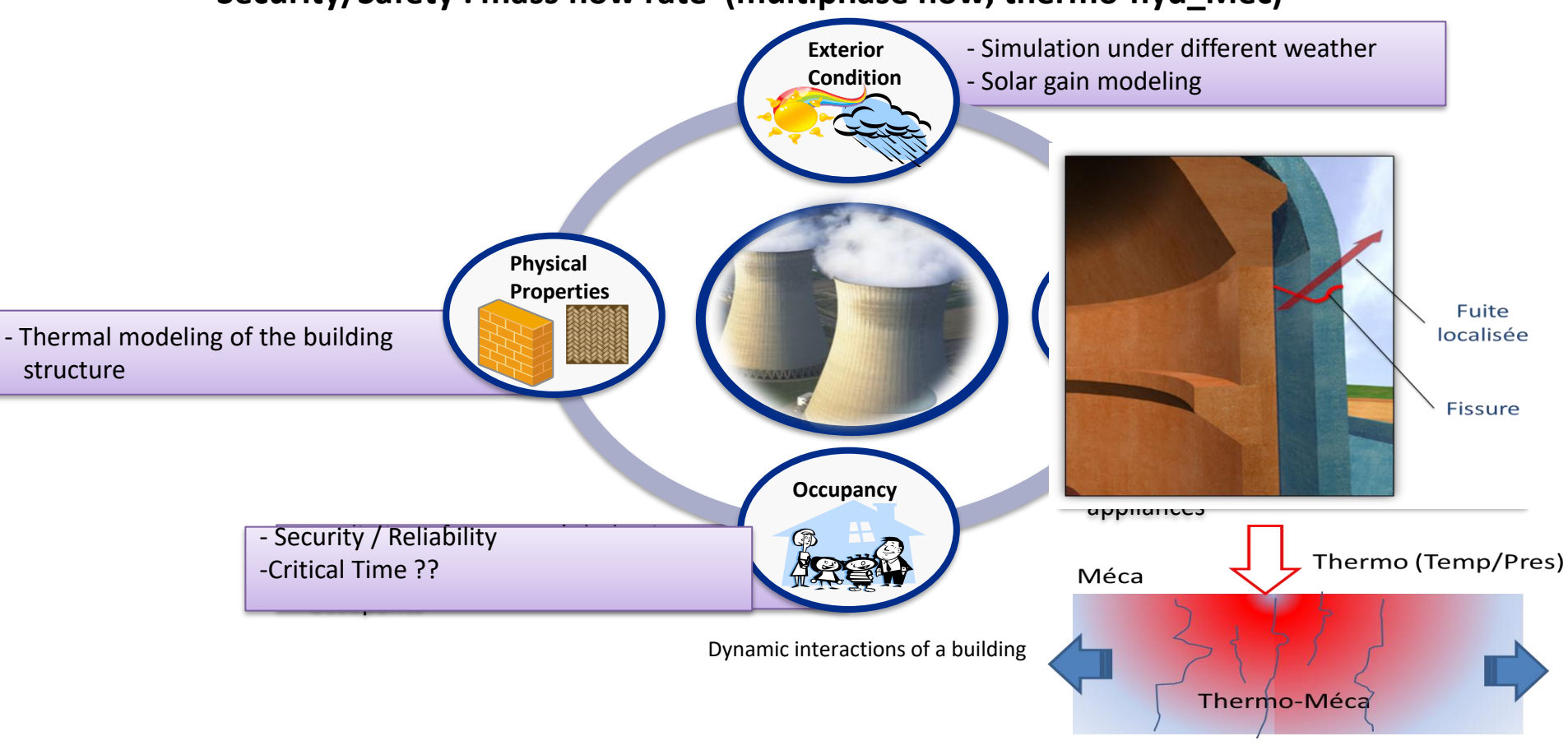
Barrières protectrices : confinement, cloisonnement

etc...

Fuites et/ ou transferts

Problematic Issues:

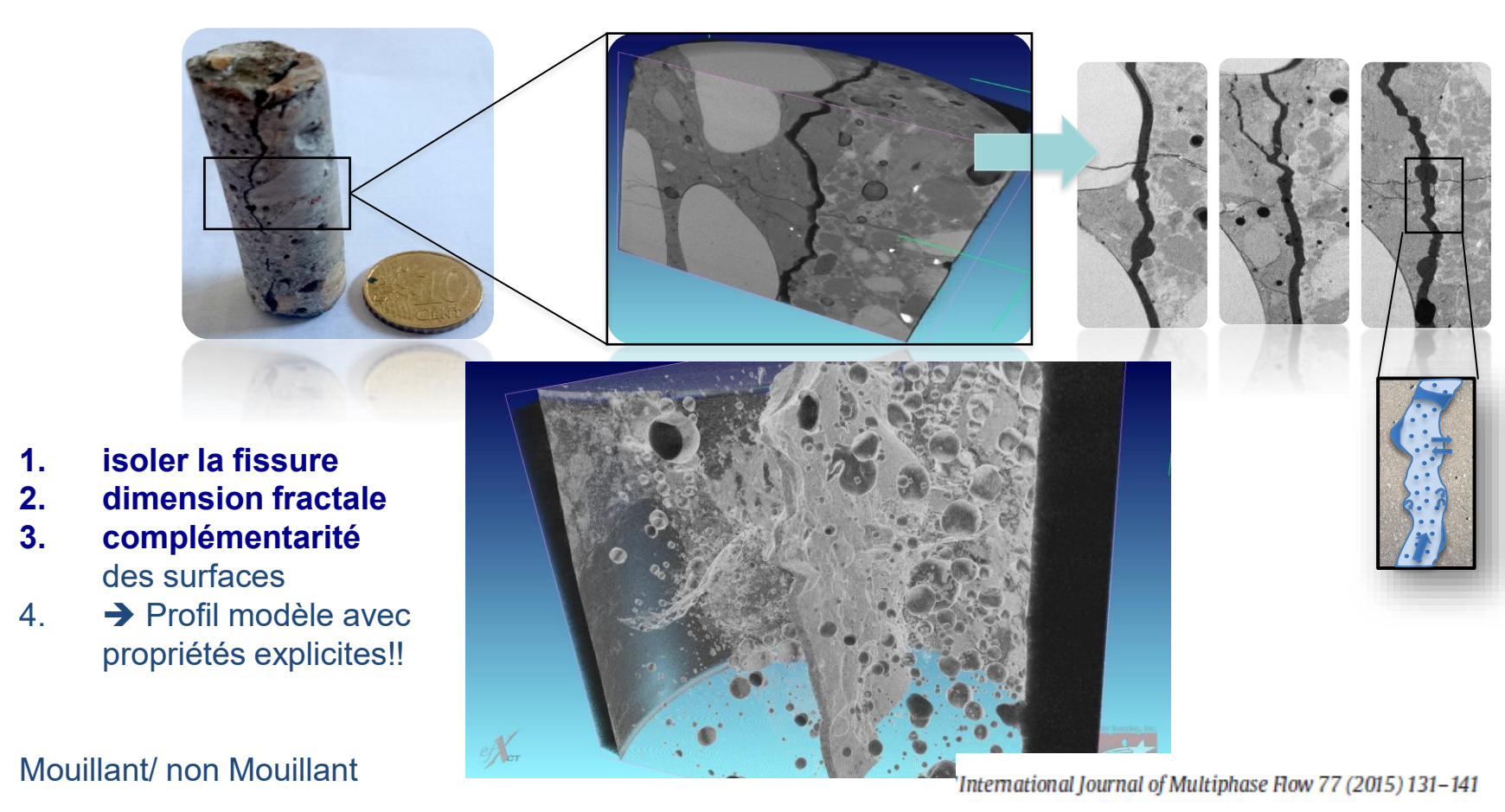
Security/Safety: mass flow rate (multiphase flow, thermo-hyd_Mec)

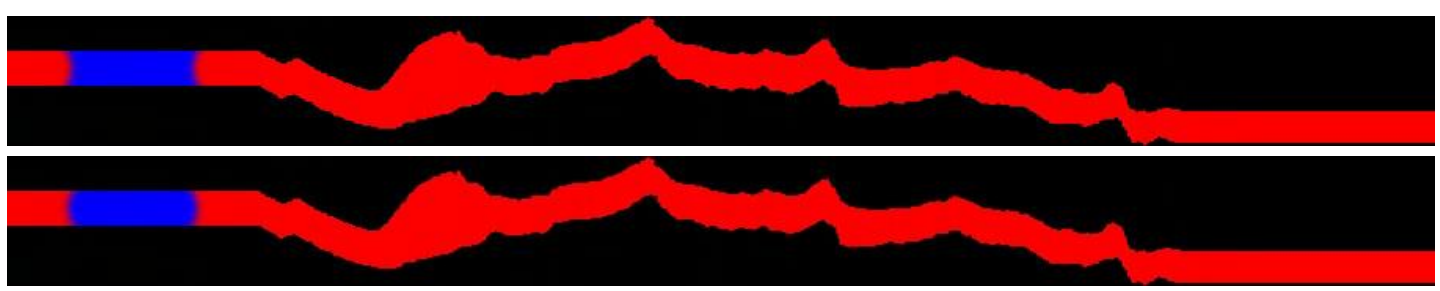


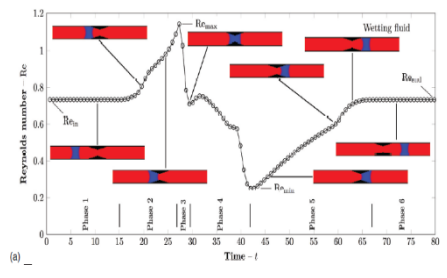
Thèses H. Park..

Fuites : Caractérisation géométrique et statistique de profils de fissuration

S. Leclerc, X. Jourdain, G. Rastiello ...







Defis:

Prédiction long terme

Propriétés des matériaux vis avis

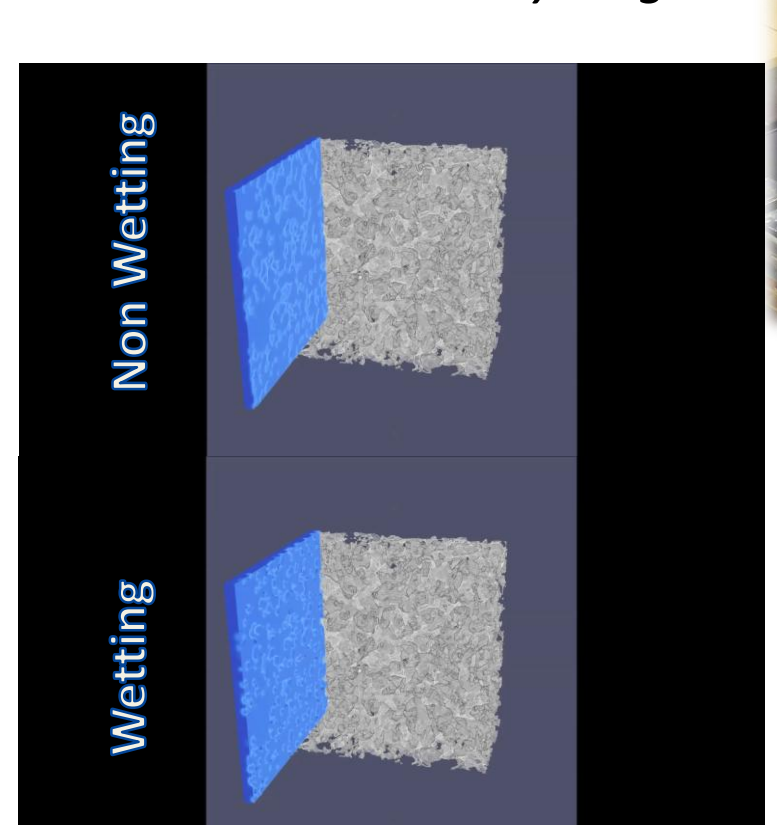
de la multiphysique

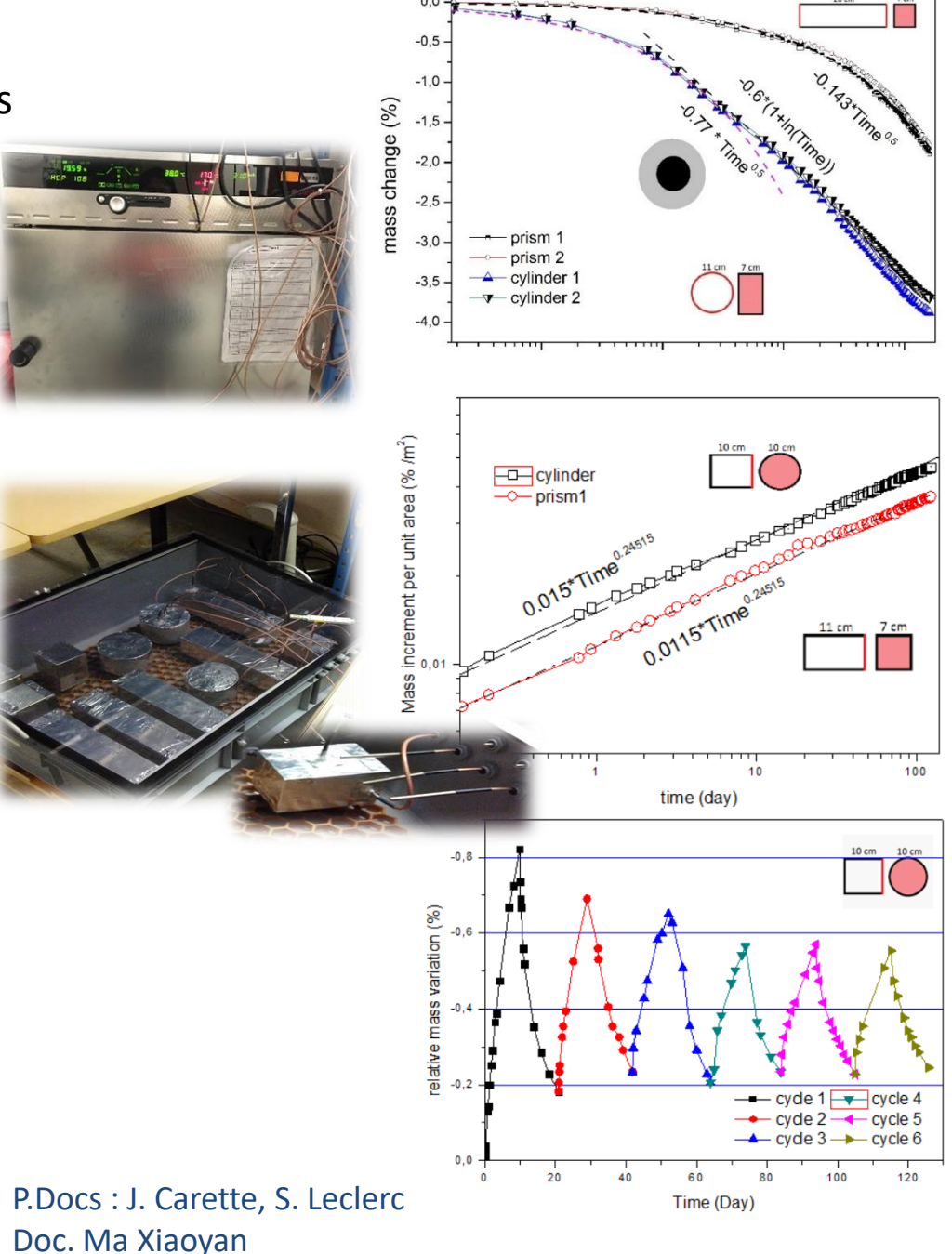
Modèles adéquats

• Drying,

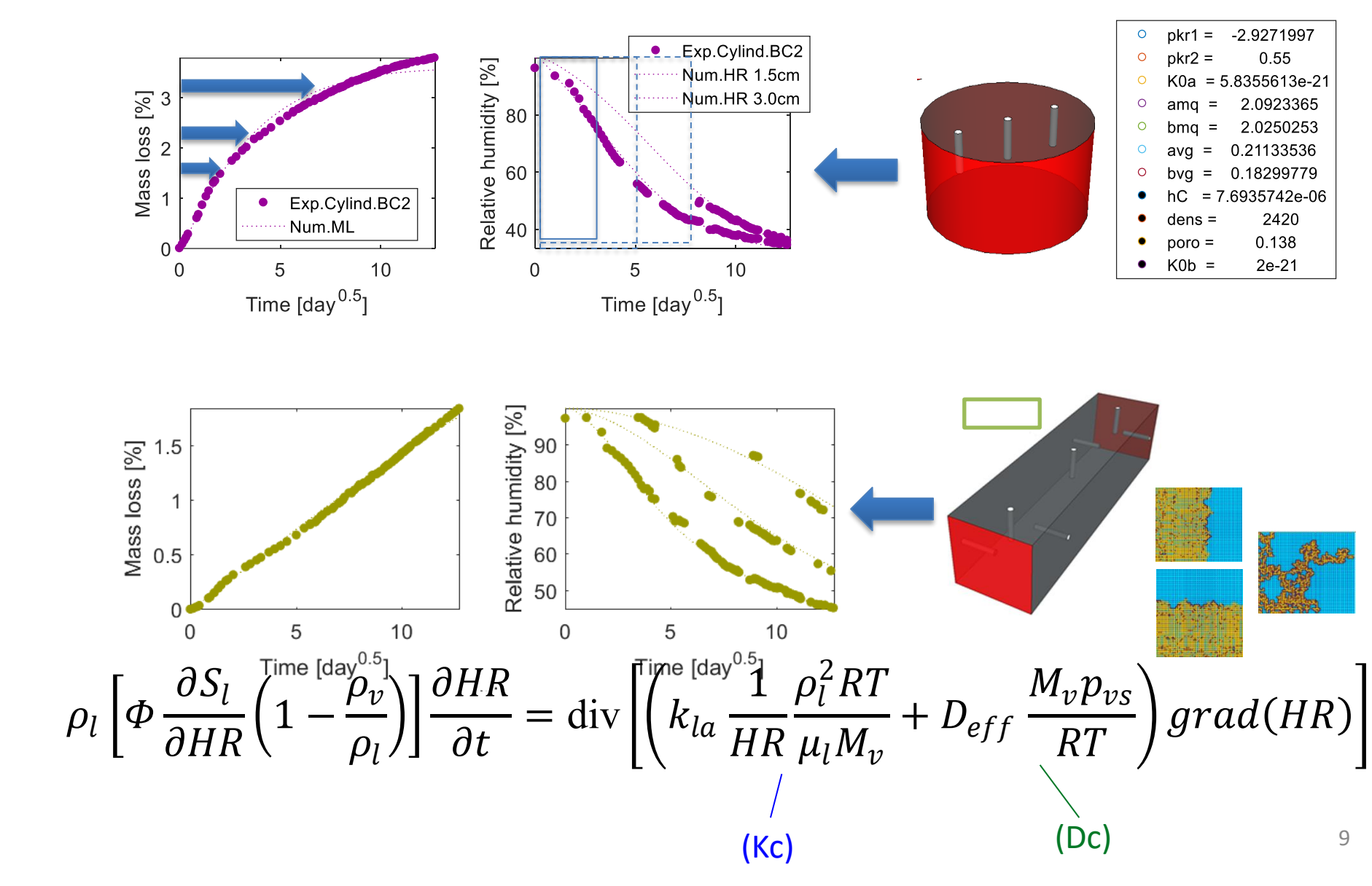
Imbibition

and Cyclings





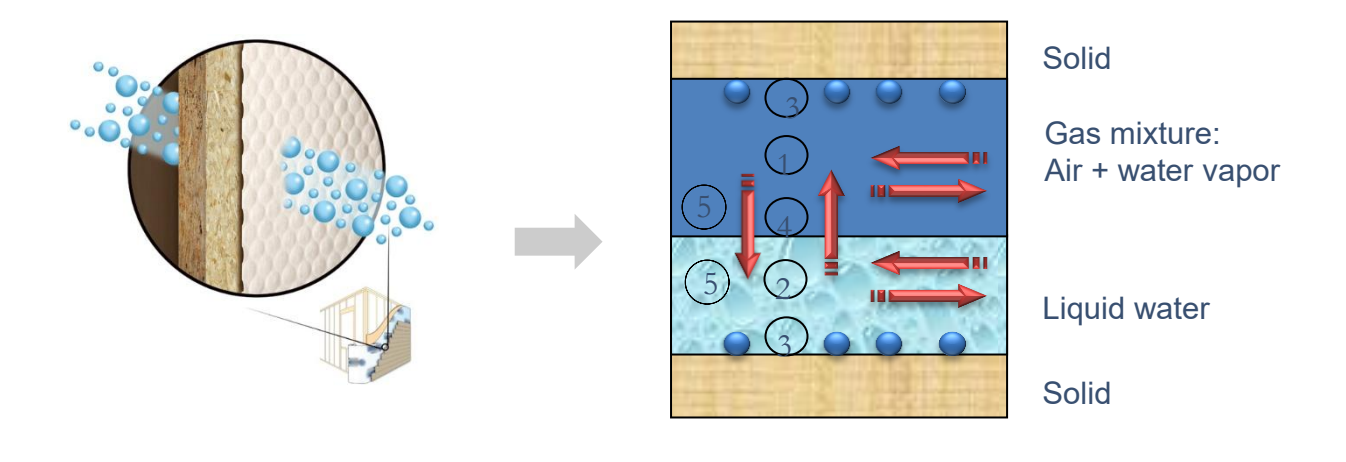
Exp./Simulation results



HAM transferts dans les matériaux



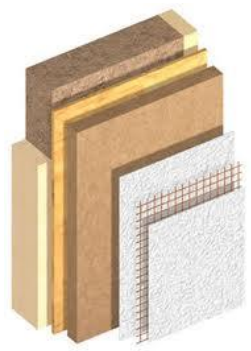
Moisture transfer inside porous media is a multi-phase and multi-component process



- 1. Water vapor diffusion
- 2. Liquid water motion
- 3. Sorption / desorption
- 4. Evaporation / Condensation
- 5. Infiltration

Stratégie mise en oeuvre

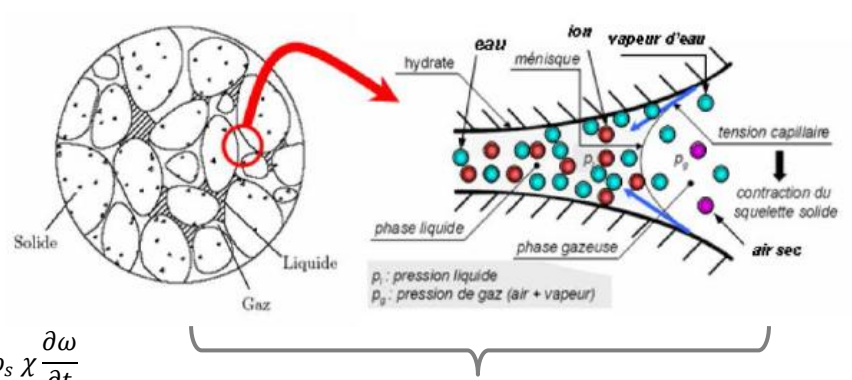








Equation ??



$$C\rho_s \frac{\partial T}{\partial t} = div(a_t \nabla T + \delta_t \nabla \omega + \zeta \nabla P) + h_{lv} \rho_s \chi \frac{\partial \omega}{\partial t}$$

$$\frac{\partial \omega}{\partial t} = div[D_m(\nabla \omega + \delta \nabla T + \alpha(\omega)\nabla P)]$$

$$h_a \frac{\partial P}{\partial t} = div(\lambda_f \nabla P) + \rho_s \chi \frac{\partial \omega}{\partial t}$$

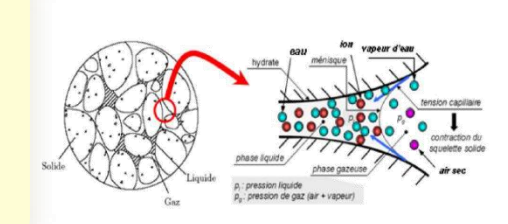


Besoin d'outils de prédiction des propriétés de modèles de simulation à plusieurs échelles....

Exemple de résultats

Approche milieu homogénéisé

$$\begin{split} \frac{\partial^* \rho_v^*}{\partial t} &= -div^*(\rho_v^* v_v^*) & v_l.n_{ls} = 0 & \text{Sur l'interface} & \Gamma_{ls} \\ \frac{\partial^* \rho_l^*}{\partial t} &= -div^*(\rho_l^* v_l^*) & \text{avec} & \rho_v v_v = \rho_v v_g + \rho_v u_v & v_v.n_{gs} = 0 & \text{Sur l'interface} & \Gamma_{gs} \\ \frac{\partial^* \rho_a^*}{\partial t} &= -div^*(j_a^*) & \left\langle \frac{\partial \rho_\eta}{\partial t} \right\rangle = \frac{\partial \left\langle \rho_\eta \right\rangle}{\partial t} - \frac{1}{V} \int_{\Gamma_\eta} n_{\eta i}.w_{\eta i} \rho_\eta d\Gamma \\ &= > \text{averaging theorem (Bear 1991) and spatial averaging theorem} \end{split}$$

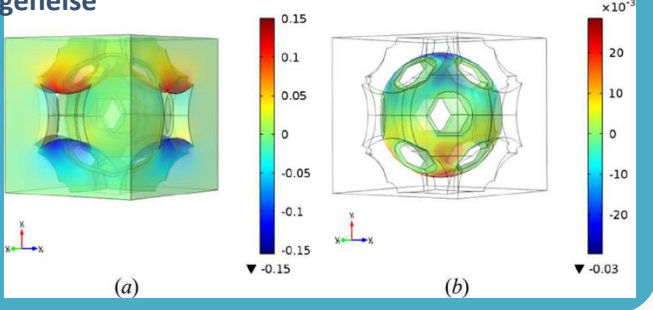


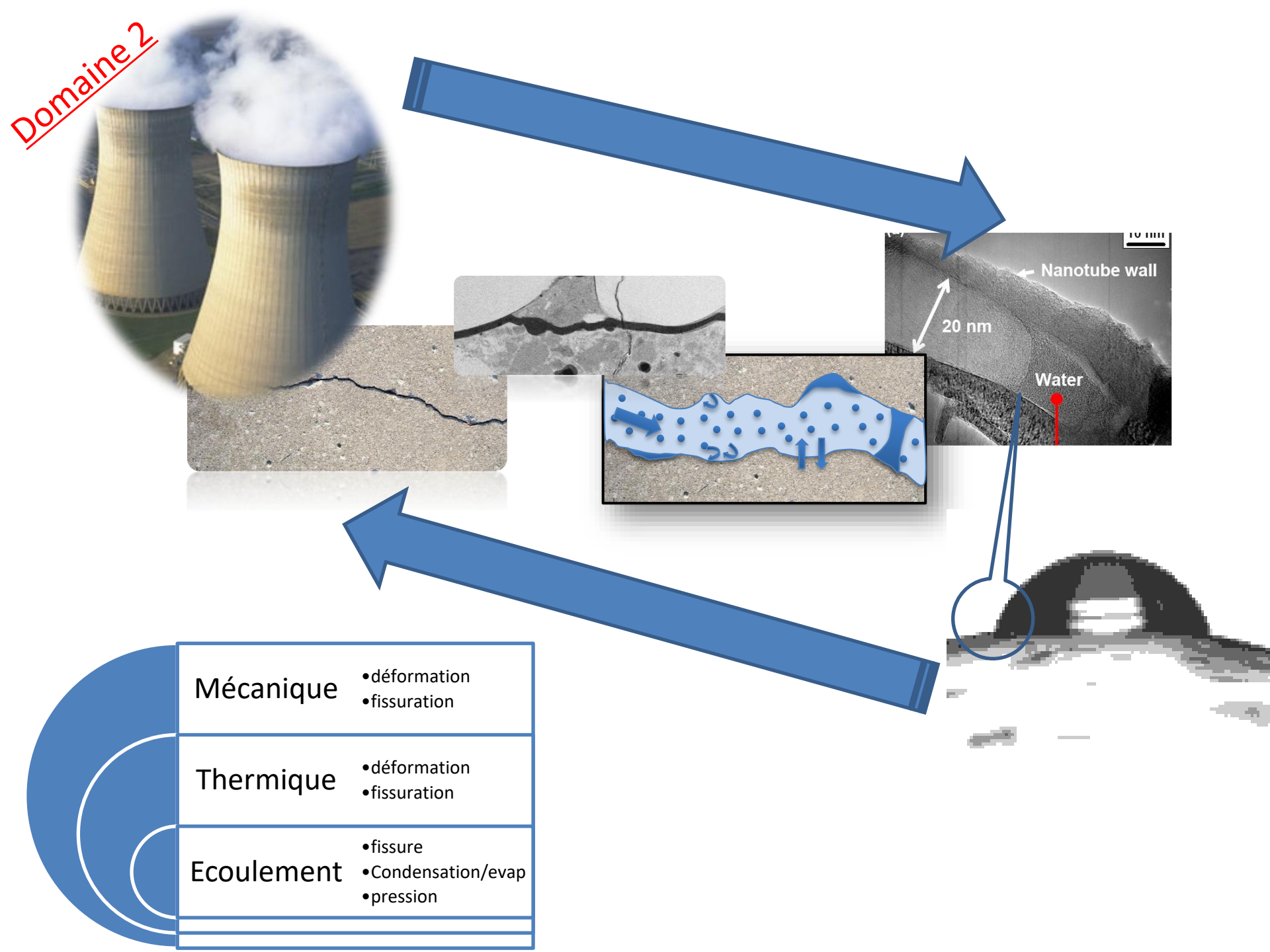
2

Tenseur de diffusion de la vapeur d'eau homogénéisé

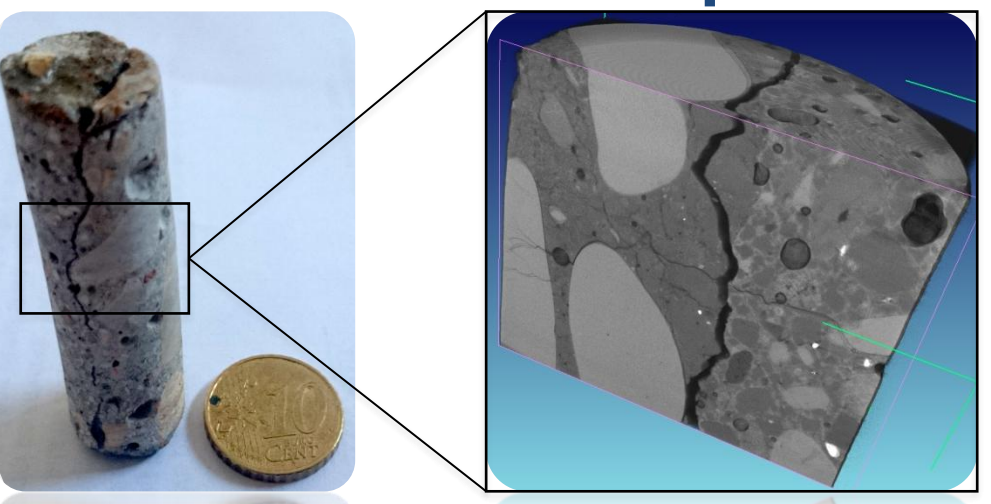
$$\mathbf{D_{v}^{hom}} = rac{1}{\mid \Omega \mid} \int_{\Omega_{g}} D_{v} (I + \overline{rac{\partial \chi}{\partial y}}) dy$$

$$\begin{cases} & \operatorname{div}_{y}(D_{V}\ (I+\frac{\overline{\partial\chi}}{\partial y}))=0 & \operatorname{dans}\ \Omega_{g} \\ & D_{V}\ (I+\frac{\partial\chi}{\partial y}).n_{gs}=0 & \operatorname{sur}\ \Gamma_{gs} \\ & D_{V}\ (I+\frac{\partial\chi}{\partial y}).n_{gl}=0 & \operatorname{sur}\ \Gamma_{gl} \end{cases}$$

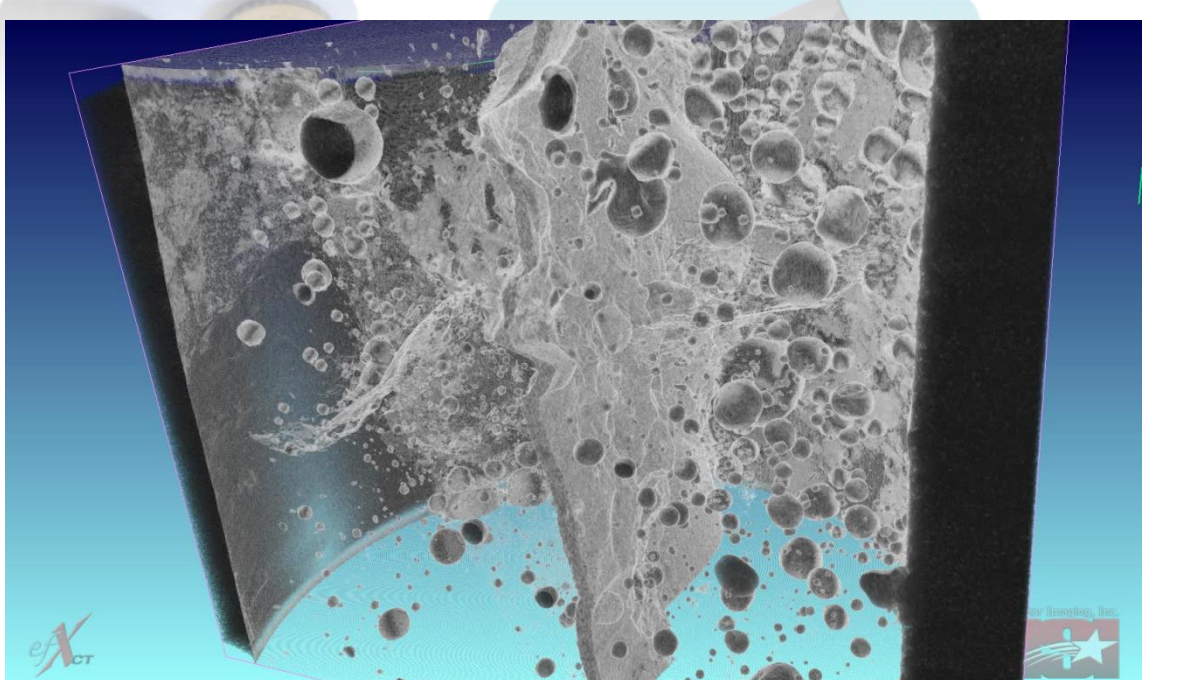


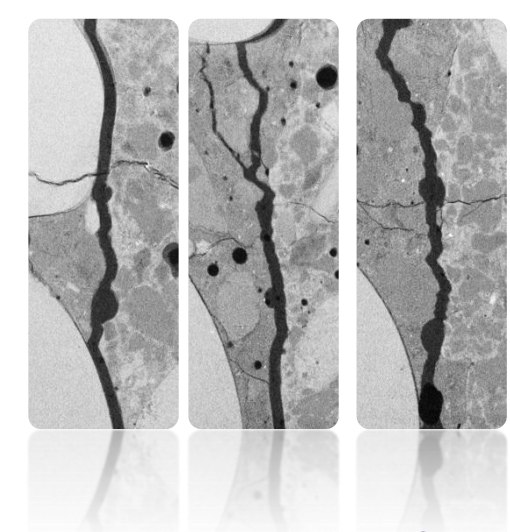


Caractérisation géométrique et statistique de profils de fissuration









- 1. isoler la fissure
- 2. dimension fractale
 - 3. complémentarité des surfaces
- 4. → Profil modèle avec propriétés explicites!!

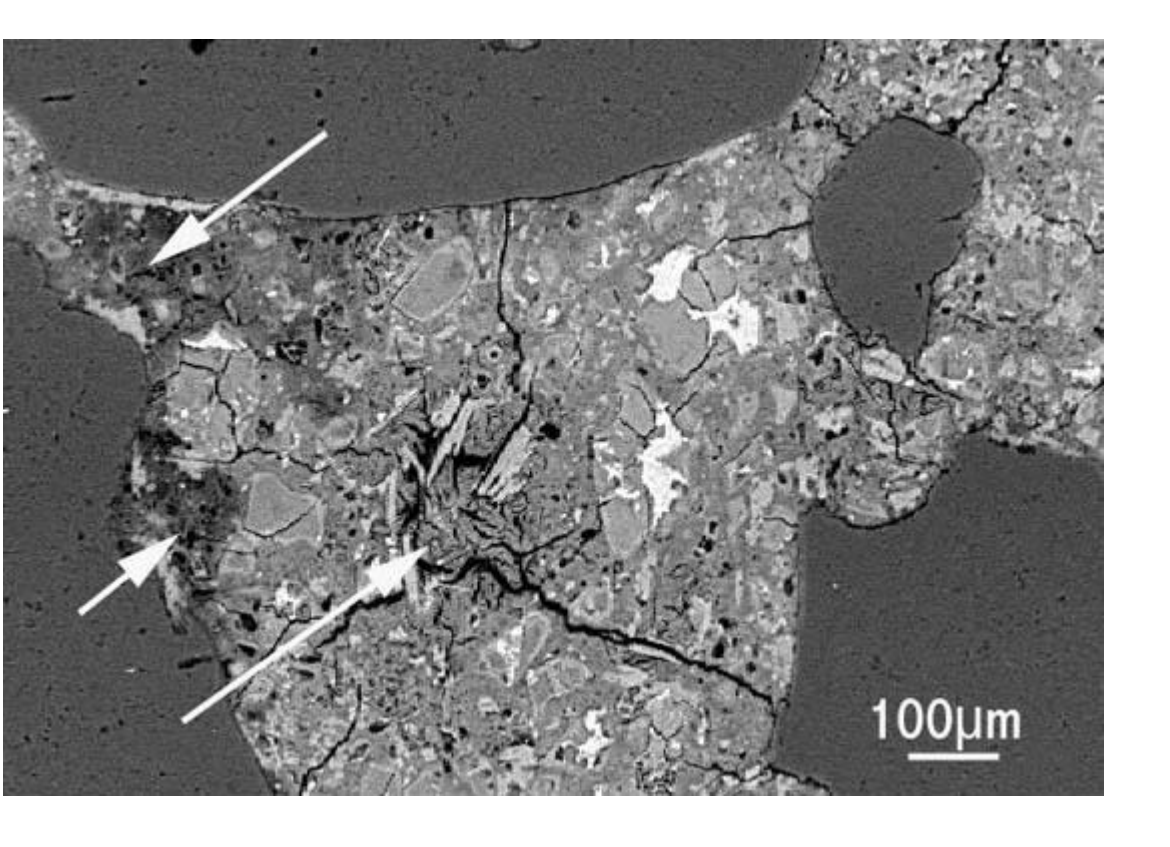
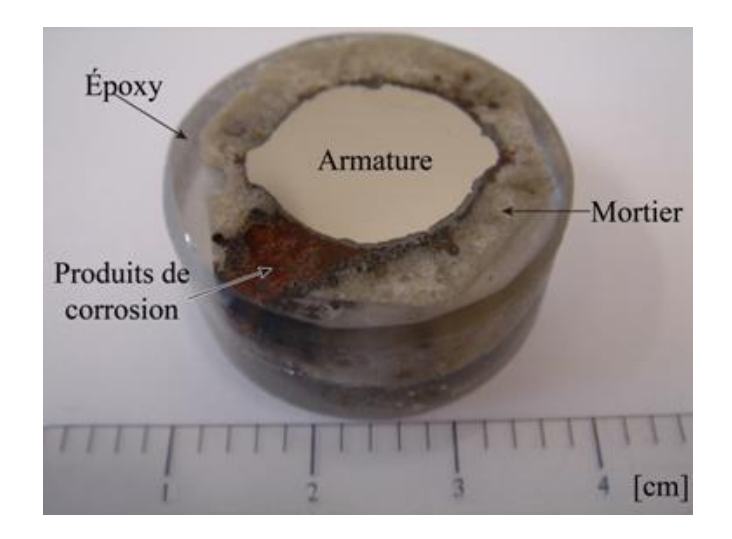
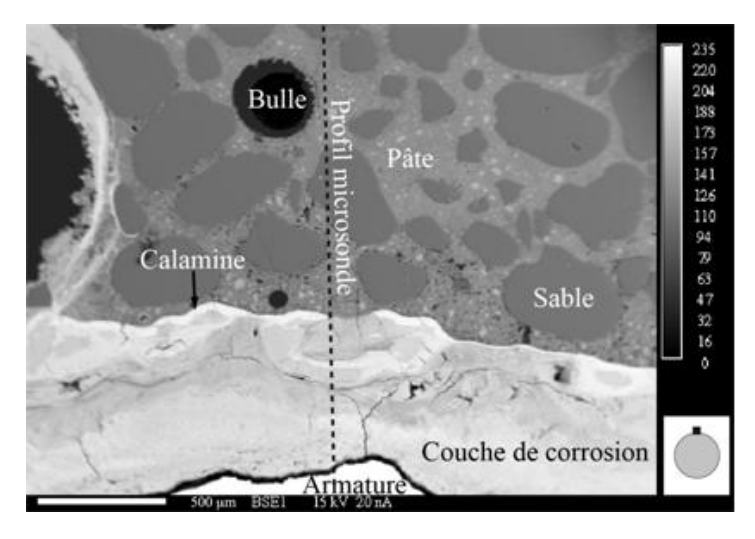
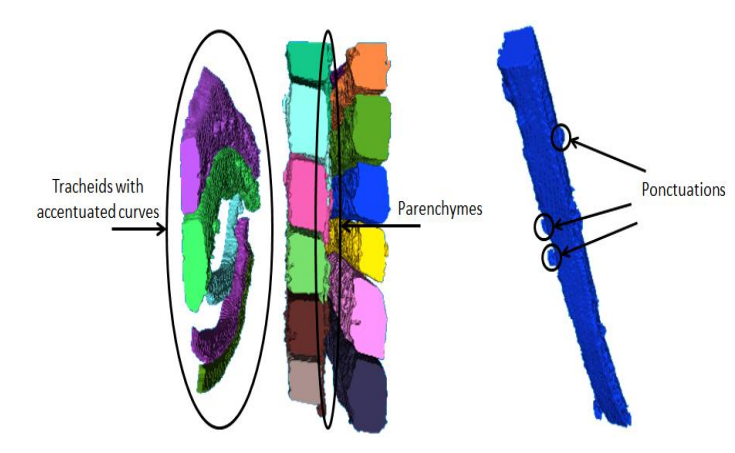


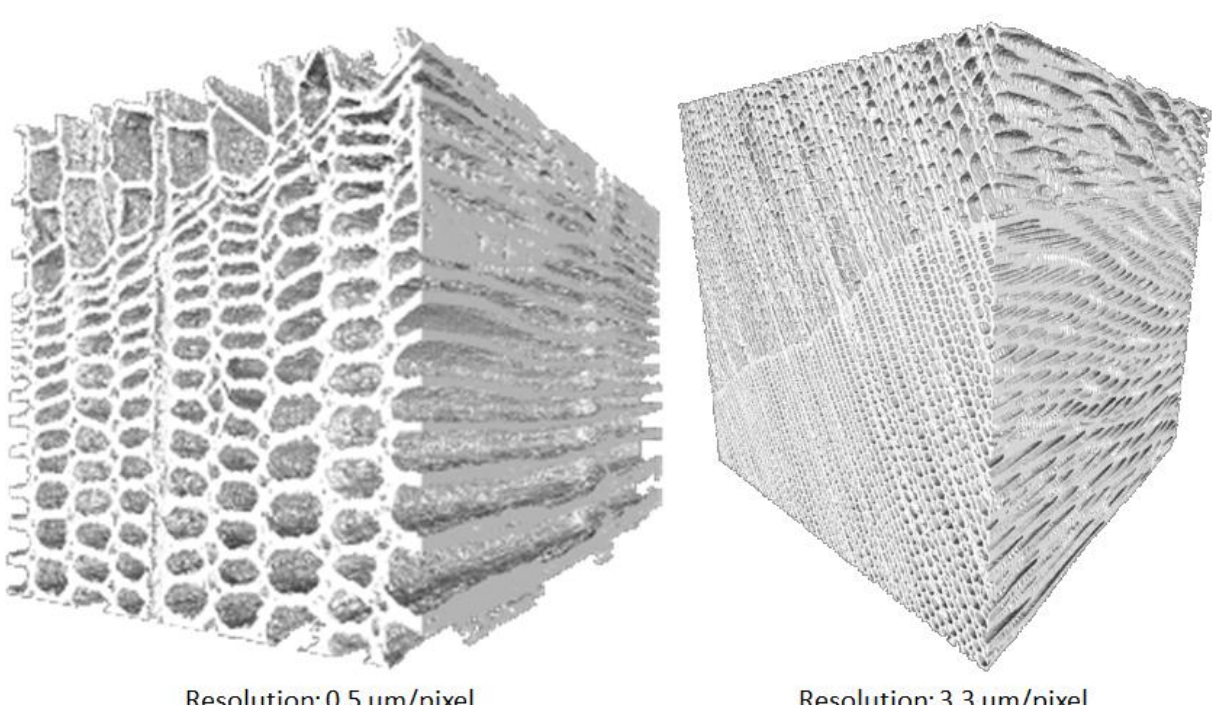
Figure Scanning electron microscope image of sulfate attack in concrete.





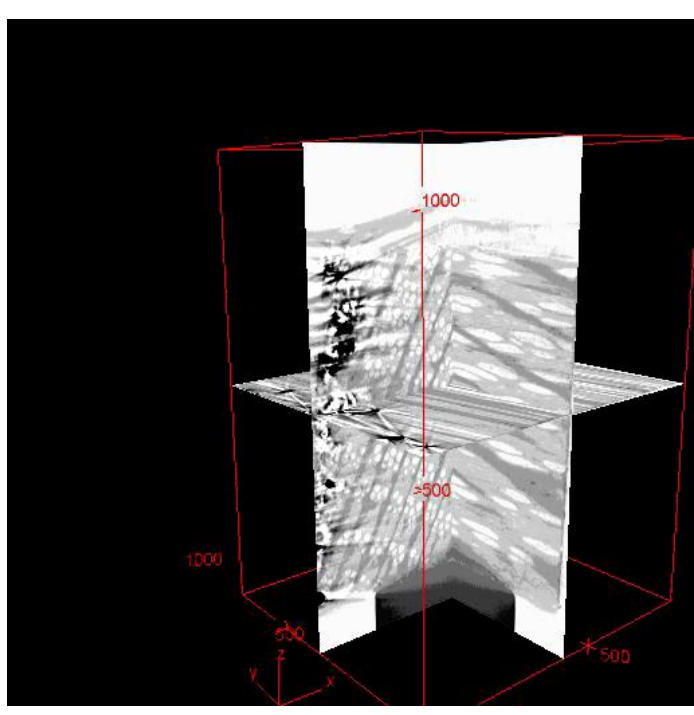


• Anisotropie & Heterogeneité



Resolution: 0.5 µm/pixel

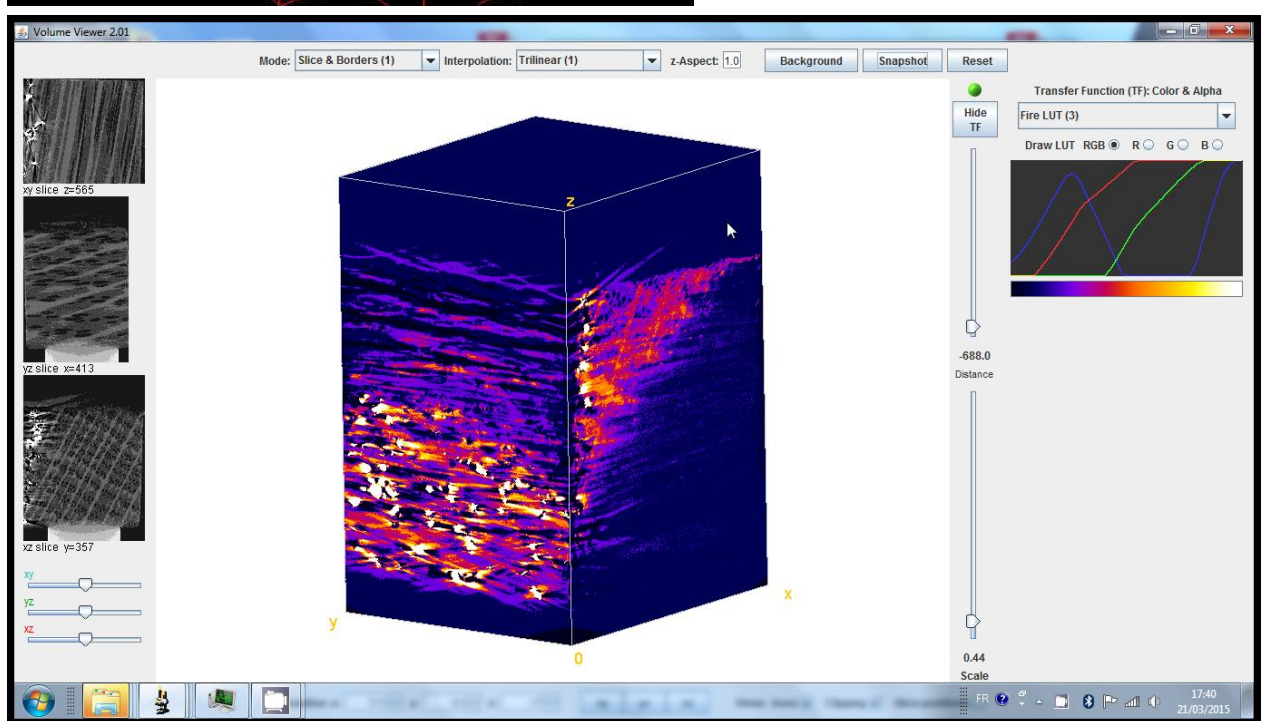
Resolution: 3.3 µm/pixel

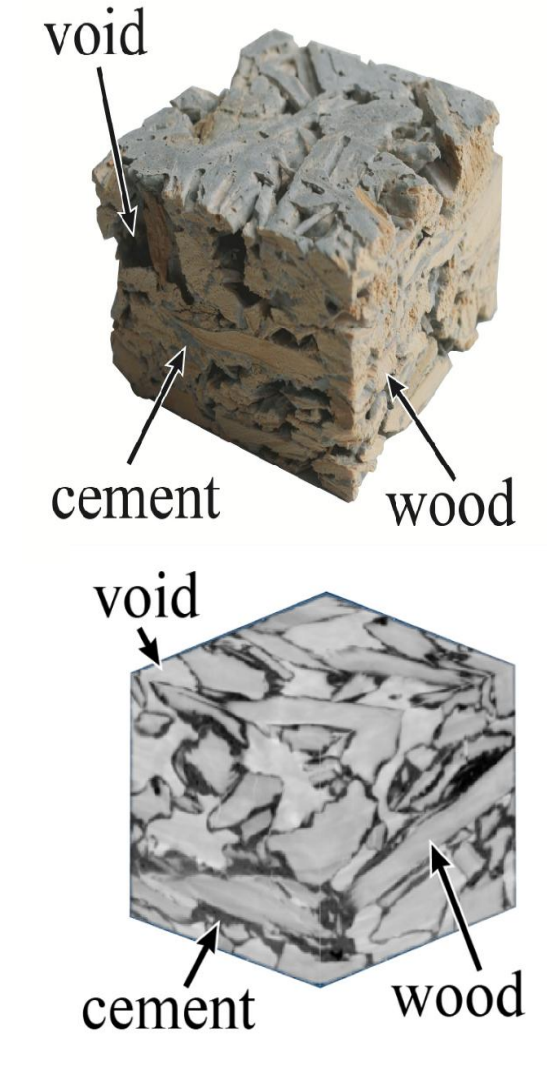


Fonctionnalisation

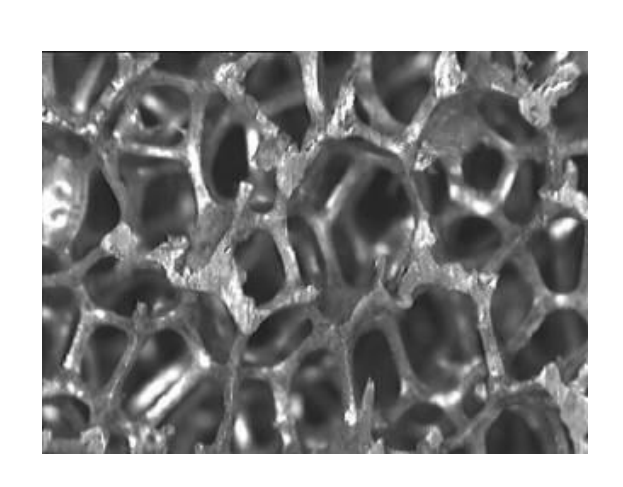
Bois / Ciment/Air

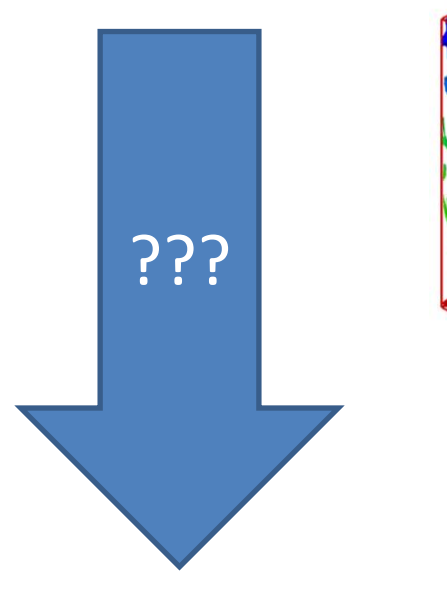


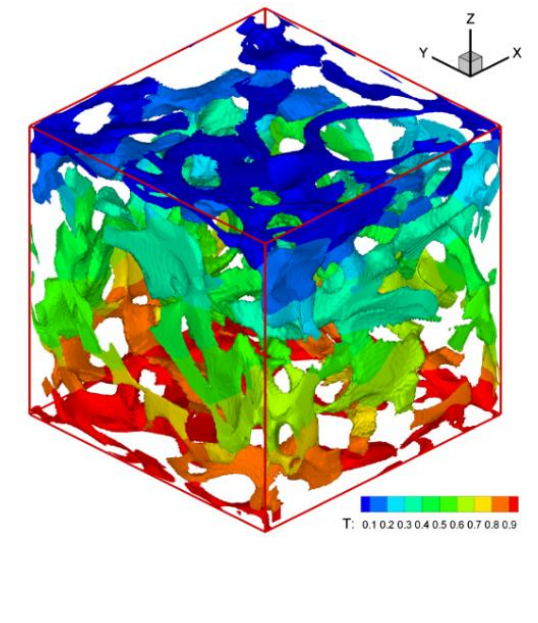




Description géométrique

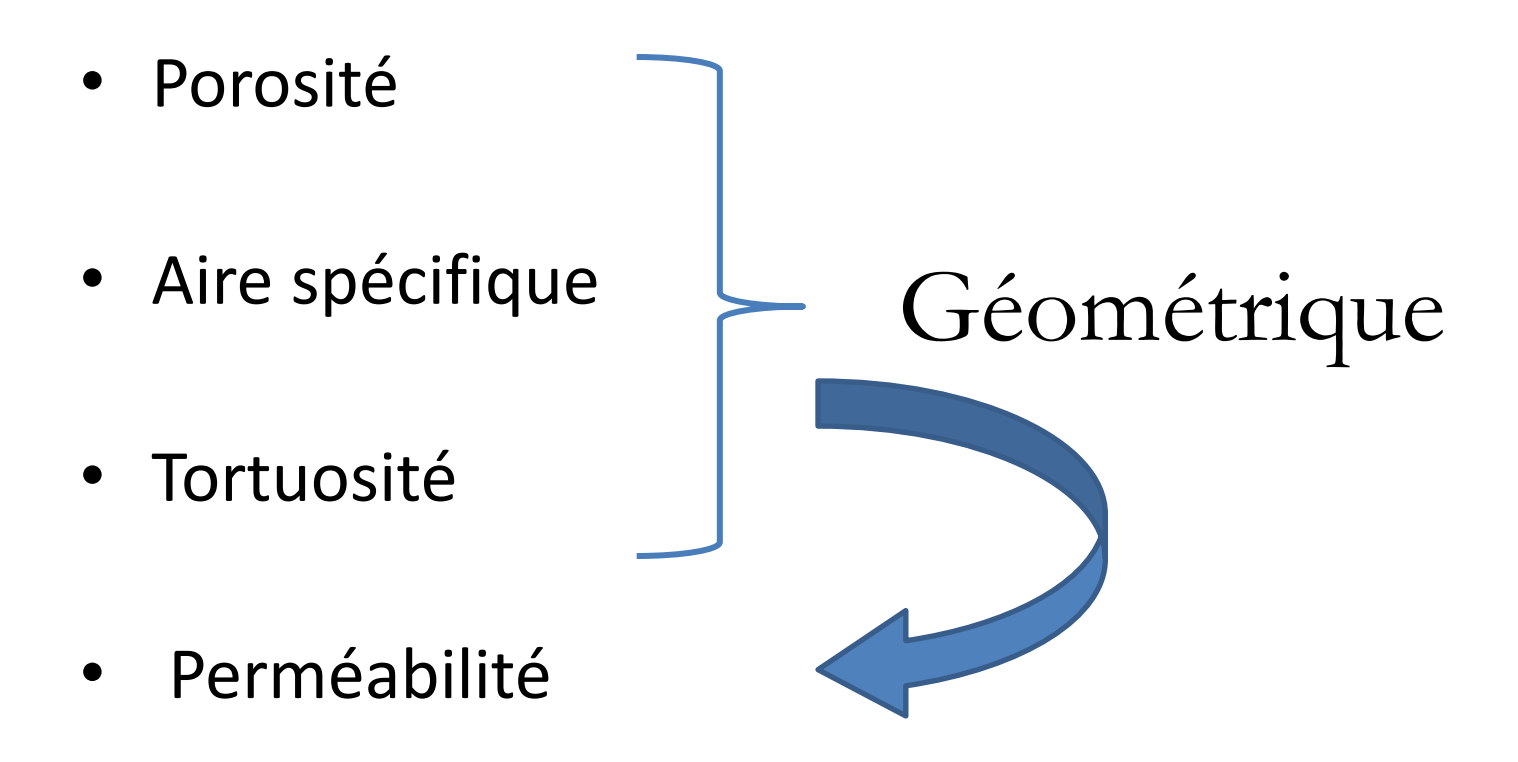






Propriétés

Description géométrique



La masse volumique apparente

I- définition et propriétés



La plupart des matériaux sont des milieux poreux au sein desquels se produisent des transports (eau, ions, particules colloïdales), des changements de phase ou des réactions chimiques.

Ces phénomènes induisent des évolutions des propriétés physiques et physicochimiques macroscopiques du milieu : perméabilité, mouillabilité, densité, conductivité, comportement mécanique, etc

I- définition et propriétés

- Ordre de grandeur et variation des propriétés
- Liens entre les différentes propriétés??
- •

I-1 La Porosité Les Milieux Poreux

Les matériaux que l'on rencontre le plus souvent dans la nature, ou les matériaux classés comme étant à base de ciment, c'est-à-dire formés (par hydratation ou autres réactions chimiques) de constituants inorganiques, sont poreux en ce sens qu'ils contiennent, autour de cristaux ou de grains, des **espaces vides** reliés (ou non) les uns aux autres.

- Porosité connectée
- Porosité occluse



(a) filtre en acier inoxydable : $\varepsilon = 0.358$, $\alpha = 6.67 \times 10^4 \text{m}^{-1}$, structure ordonnée, diamètre des pores = 10 μ m ([8])



(b) mèche poreuse en fibre d'acier inoxydable, structure désordonnée ([8])



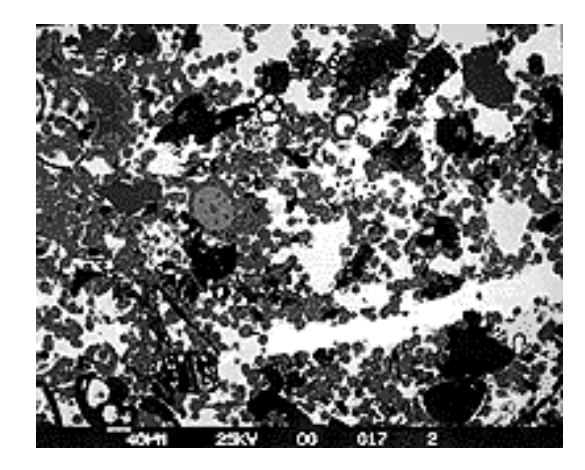
(c) sable de Fontainebleau (phase solide en noir et espace des pores en blanc)

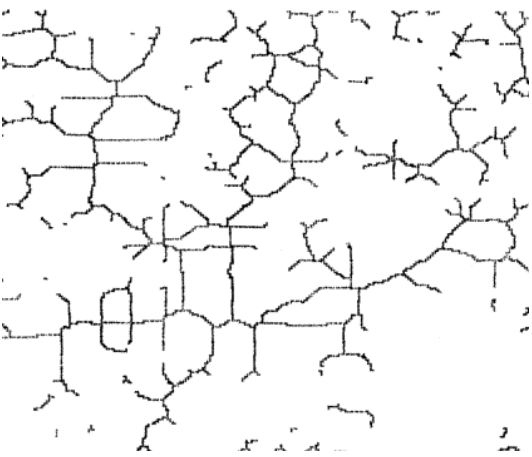
substance	Porosité
Mousse (exemple polyuréthane)	0.98
Fibre de verre	0.88 - 0.93
Fil à tisser	0. 68 - 0.76
Grains de silice	0.65
Poudre d'ardoise noir	057 – 0.66
Cuir	0.56 – 0.59
Terre	0.43 - 0.54
Sable	0.37 – 0.50
Empilement de sphères	0 .36 – 0.43
Filtres à cigarettes	0.17 – 0.49
Brique	0.12 - 0.34

Qu'est ce que la Porosité?

$$\epsilon_T = \frac{V_p}{V_o} = \frac{V_p}{V_p + V_s}$$

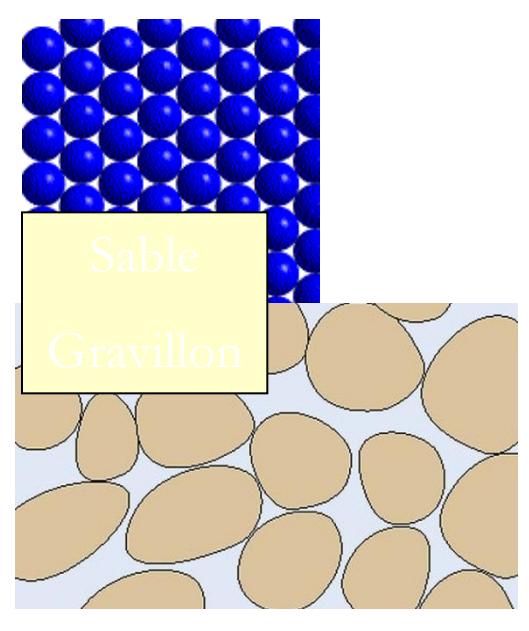
Rayon des pores	Classe	État de l'eau		
< 0,0001 mm	Microporosité	eau de rétention exclusivement		
0,0001 à 2,5 mm	Porosité capillaire	eau capillaire et eau gravitaire		
>2,5 mm	Macroporosité	eau gravitaire dominante		

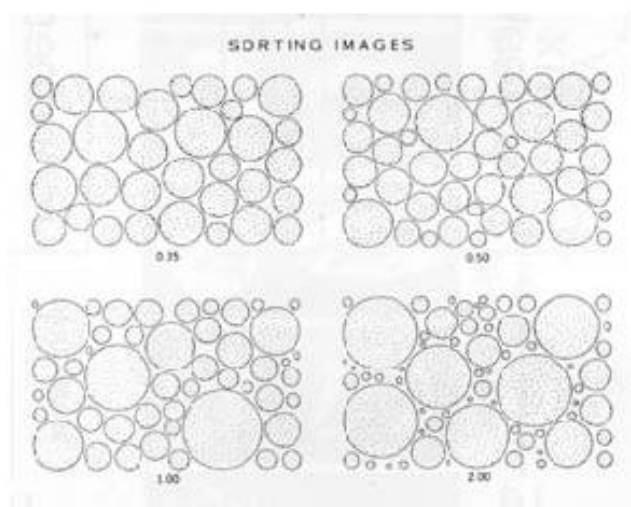


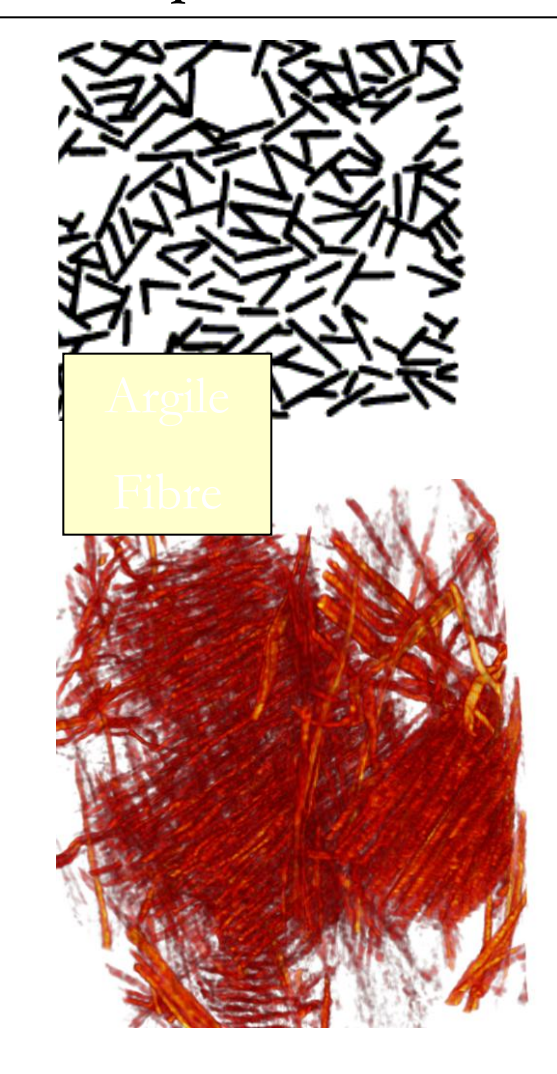


- 1. Pores interconnectés : espace continu dans le milieu poreux et participent au transport de matière dans le matériau,
- 2. Pores aveugles ou bras morts connectés uniquement par une voie. Il peuvent donc être accessible à un fluide extérieur mais ne participent pas au transport.
- 3. Pores isolés qui ne communiquent pas avec le milieu extérieur
 - la porosité formée par les seuls vides inter communicants : porosité ouverte
 - la porosité formée par les vides non interconnectés : porosité close ou porosité vacuolaire

Variabilité spatiale et temporelle







Compacité (diamètre, distribution)

I-2 La compacité (arrangement)

Porosité e (ou notée f) Compacité = 1-e

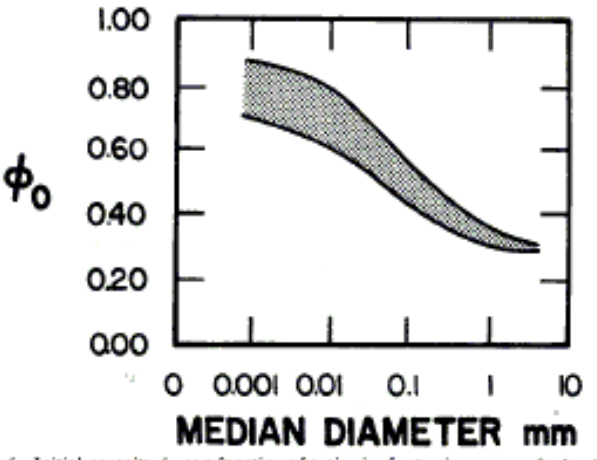


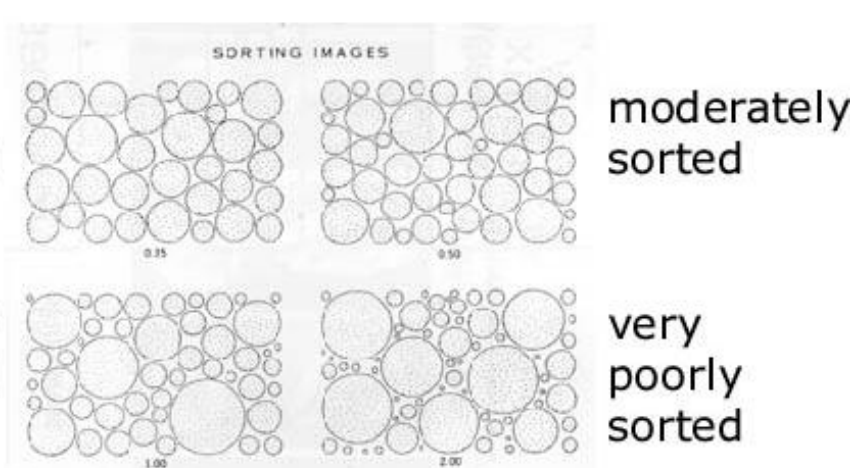
FIGURE 3-6. Initial porosity ϕ_0 as a function of grain size for terrigenous surfical sediments. The increase of porosity with decreasing median size reflects increasing proportions of clay minerals. (After Meade, 1966.)



Initial (non compacté) porosité croit avec la décroissance du filtrage de taille ou d'orientation).

well sorted

poorly sorted

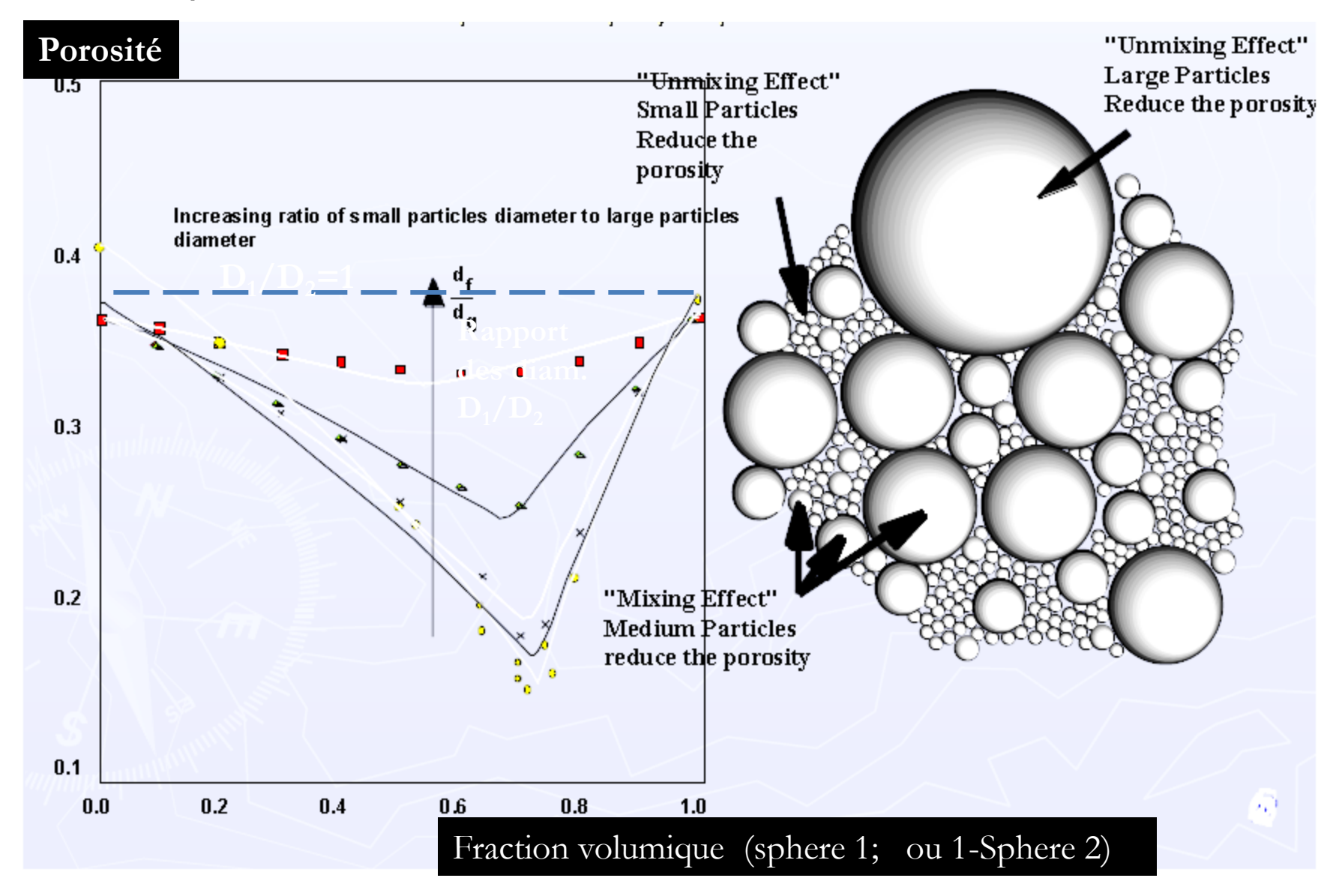


Empilement de sphères mono-dispersées

	enom ination de emp ilement	Schéma de la phase solide	Schéma de la p hase po reuse	Porositi	Points de contact par sphère	Type de vides	rayon de la sphère maximum inscriptible	rayon de la sp hère maximum p assant p ar les accès	Fraction de la porosité contenue dans la sphère maximum inscriptible
Empilements réguliers	Cubique simple	88		47,6	6		0,732	0,414 accès carré curviligne	43 %
	Hexagonal ou losange simp le			39,6	8	2 Trigonaux	0,528	0,414 et 0,155 accès triangulaire curviligne	45 %
Empilen	Hexagonal compact ou tétraèdrique	8888		25,9	12	2 tétraèd riq ues + 1 octaèd riq ue	0,225 0,414	0,155	27 %
qu sp	Emp ilement dense lekonq ue de hères dures ogranulaires			36	9 en moyenne	au moins 5 types pricipaux	0,29 rayon le p lus fréquent		

Empilement de sphères polydispersées

Cas bidispersé avec diamètre D1 et D2



Empilement de sphères polydispersées Compacité d'un empilement polydisperse de sphères

Compacité d'un empilement bidisperse

$$\phi_i^T = \frac{\phi_i}{1 - \left(1 - \frac{\phi_i}{\phi_{ij}}\right) \frac{X_i}{X_{ij}}}$$
 X fraction volumique de particules de catégorie i

Compacité d'un empilement tridisperse

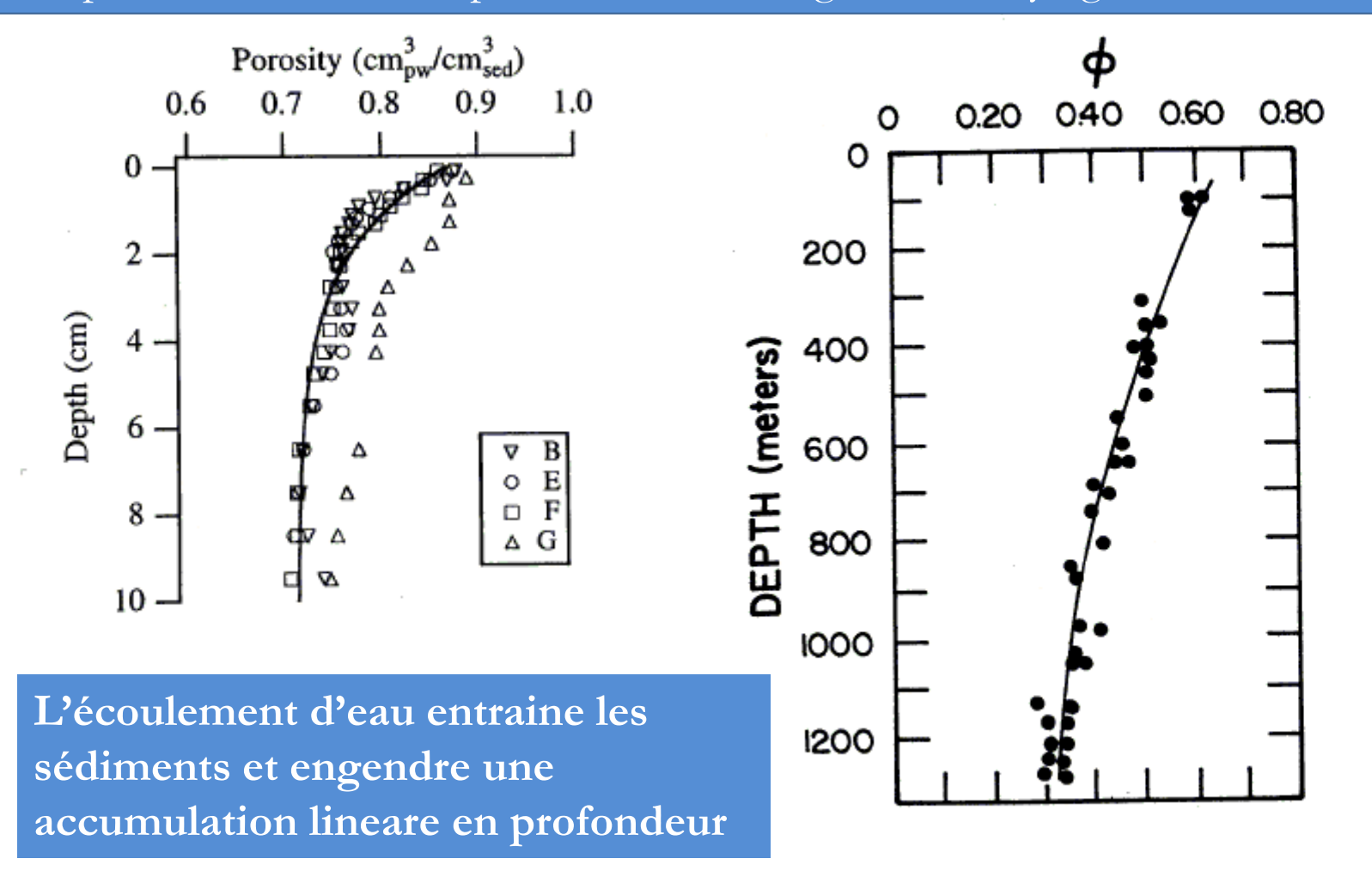
$$\phi_i^T = \frac{\phi_i}{1 - \left(1 - \frac{\phi_i}{\phi_{ij}}\right) \frac{X_i}{X_{ij}} - \left(1 - \frac{\phi_i}{\phi_{ik}}\right) \frac{X_k}{X_{ik}}}$$

Compacité d'un empilement de N tailles de particules

$$\phi_{i}^{T} = \frac{\phi_{i}}{1 - \sum_{j=1}^{N} \left(1 - \frac{\phi_{i}}{\phi_{ij}}\right) \frac{X_{j}}{X_{ij}}}$$

Sol heterogène:

Compaction - vertical compression due to weight of overlying sediments



Similitudes avec le problème de diffusion : lixiviation (au lieu du dépot on a augmentation de la porosité par dissolution des constituants)

Béton 'évolution porosité et diamètres des pores' au cours du temps (milieu réactif)

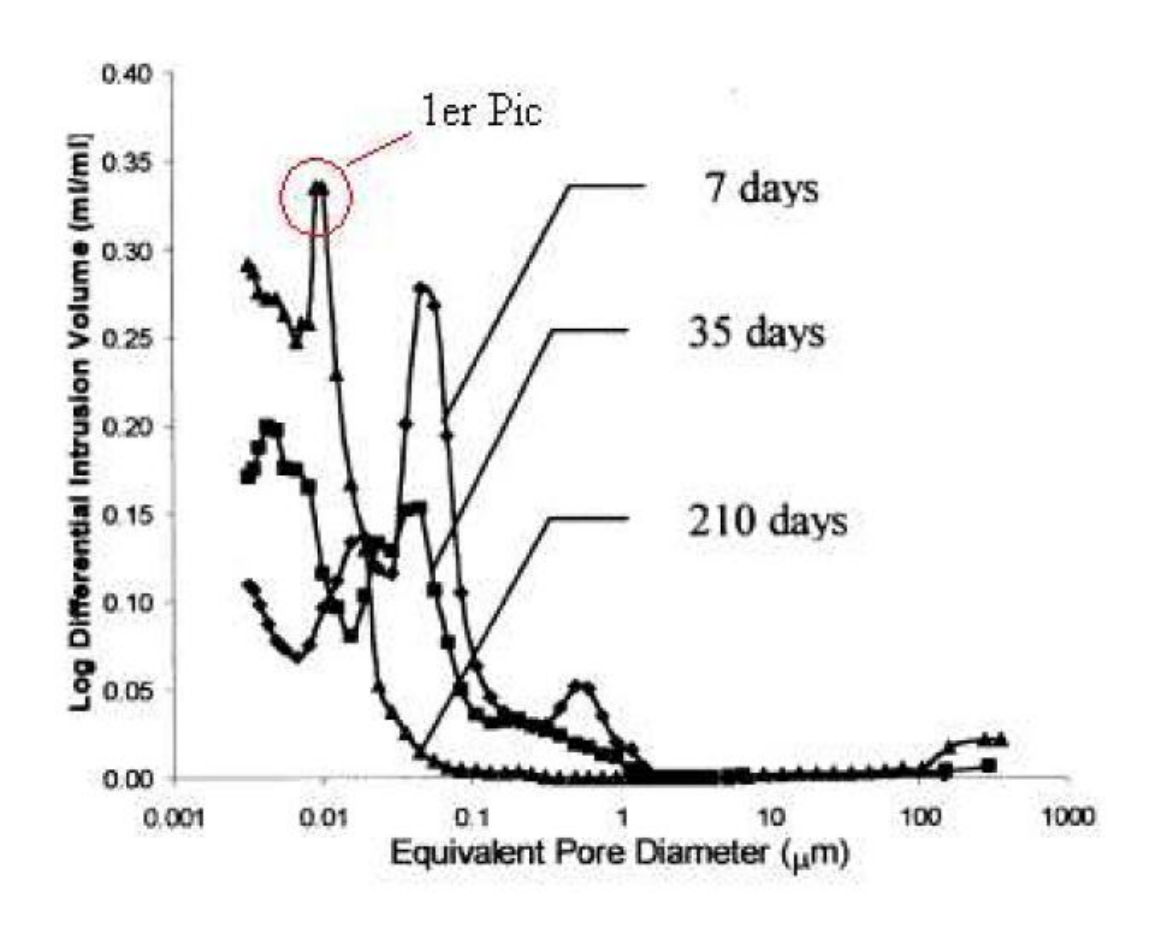


Figure 5.1 — Courbe logarithmique de porosimétrie d'une pâte de ciment de rapport E/C = 0.4 tirée des travaux de Cui et Cahyadi [Cui and Cahyadi, 2001].

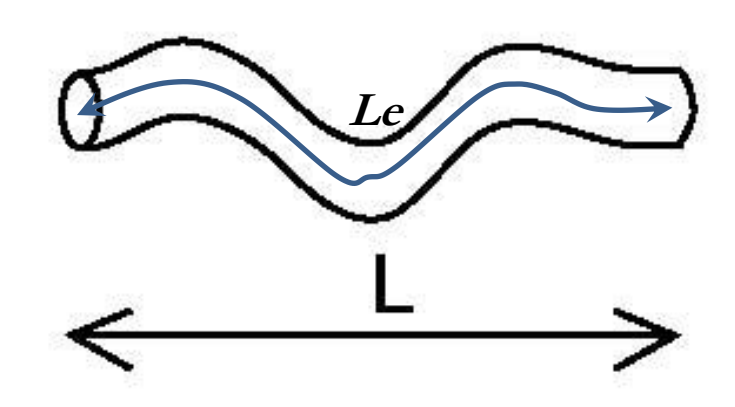
I-3 La Tortuosité

Ce modèle permet de corriger l'approximation de canaux rectilignes fait jusque là.

La *tortuosité* est définie comme le rapport entre ces deux longueurs :

$$\tau = L_e / L$$
.

On peut aisément critiquer le fait que les canaux décrivant la porosité sont tous de la même taille, c'est sa principale limite.



$$\tau = \left(\frac{L_e}{L}\right)^2$$

I-4 Aire spécifique

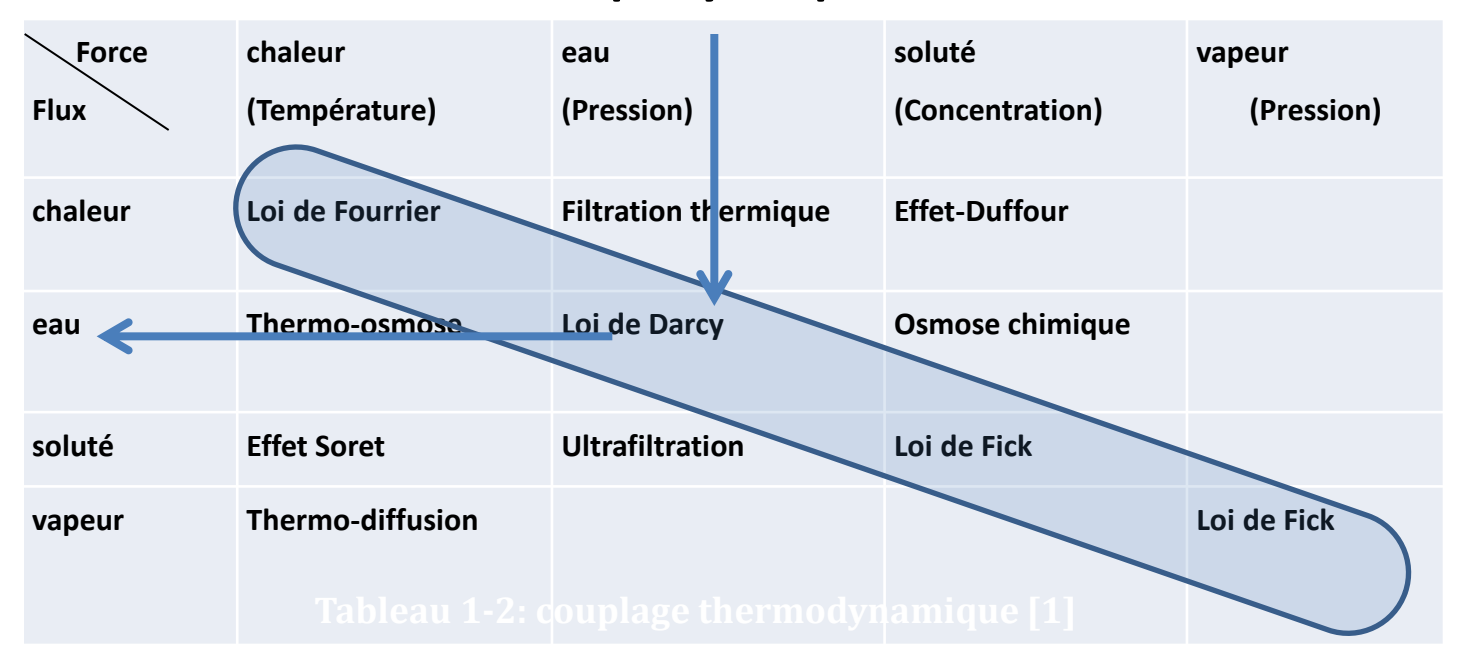
$$\alpha s = \frac{A sf}{VT}$$

- Interface
- Adsorption
- Taille (nano..)
- •

2-Loi de Darcy & perméabilité

(quantité de mvt)

Phénomènes physiques Cause - Effet



On focalisera sur les transferts:

Quantité de mouvement (écoulement)

Flux de chaleur 'Energie'

Flux de masse 'diffusion espèce chimique ou gaz'

2-1 Loi de Darcy (quantité de mvt)

- La perméabilité c'est la capacité d'un matériau à être traverser par un fluide.
- Elle s'exprime (quantification) au moyen de la relation de DARCY
- On peut par exemple la déterminer par deux méthodes différentes (phénoménologique / caractérisation).

$$Q = -K \frac{A}{\mu} \frac{dP}{dz}$$

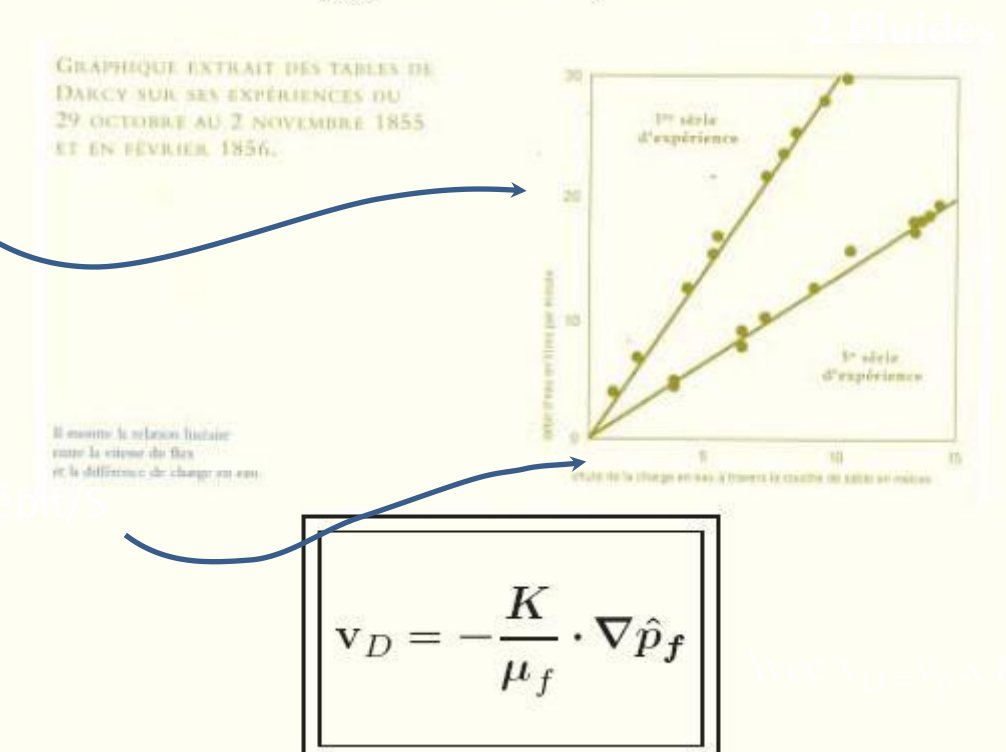
C'est la conséquence de Re <1 (au niveau du capillaire D_{pore}) Inertie négligée et donc essentiellement fonction de l'effet viscosité(???) Stokes. Contrôlée par la surface spécifique, taille des pores/capillaire et complexité géométrique

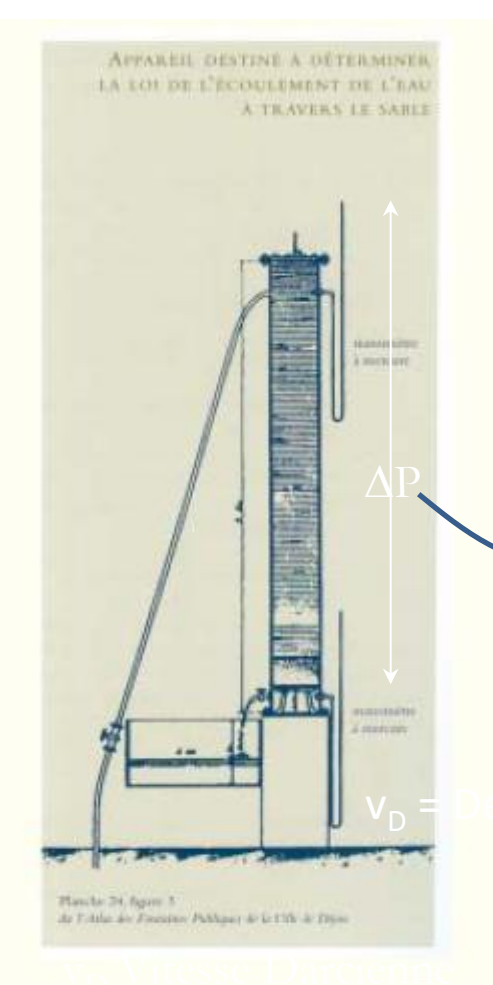
34

Loi de Darcy



Les Fontaines publiques de la ville de Dijon Appendice D, 1856.





Conséquence Re <<1 Stokes

K

		11	
Matériau	Porosité	Perméabilité	Surface
	3	[cm²]	Spécifique
			[cm ⁻¹]
Tas de Fibre végétal.	0,56 à 0,66	1,1 10 ⁻⁵	$7\ 10^3\ {\rm a}\ 8,9\ 10^3$
Brique	0,12 à 0,34	4,8 10 ⁻¹¹ à 1,2 10 ⁻⁹	
Ardoise (en poudre)		4,9 10 ⁻¹⁰ à 4,4 10 ⁻⁹	
Filtre	0,17 à 0,49		
Charbon	0,02 à 0,12		
Béton	0,02 à 0,07		
Béton (bitumineux)		1, 0 10 ⁻⁹ à 2,3 10 ⁻⁷	
Cuivre en poudre	0,09 à 0,34	3,3 10 ⁻⁶ à 1,53 10 ⁻⁵	
Planche de liège		2,4 10 ⁻⁷ à 5,1 10 ⁻⁷	
Fibre de verre	0,88 à 0,93		560 à 770
Cheveux	0,95 à 0,99		
Cuir	0,56 à 0,59	9,5 10 ⁻¹⁰ à 1,2 10 ⁻⁹	1,2 10 ⁴ à 1,6 10 ⁴
Calcaire (dolomite)	0,04 à 0,10	2 10 ⁻¹¹ à 4,5 10 ⁻¹⁰	
Sable	0,37 à 0,50	2 10 ⁻⁷ à 1,8 10 ⁻⁶	150 à 220
Grès	0,08 à 0,38	5 10 ⁻¹² à 3 10 ⁻⁸	



Propriétés géométriques des milieux poreux et leurs caractérisation .

- Loi de Darcy
- Modèles de perméabilité :
 - > Réseau de capillaires parallèles
 - ➤ Modèle de Saffman
 - ➤ Modèle des canaux tortueux
 - > Canaux à section variable
 - Modèle de Carman-Kozeny
 - > Limite de ces modèles

2-2 Mesure de la perméabilité

La perméabilité au gaz

· l'essai au perméamètre de Cembureau



Figure 3 : Une vue d'ensemble du perméamètre Cembureau



Figure 4 : Une éprouvette et une cellule

permet de déterminer la perméabilité apparente

$$Ka = \frac{2.Q.Patm.L.\mu}{A.(P^2 - P^2atm)}$$

L (m): épaisseur échantillon

A (m²): section échantillon

 μ (Pa.s) : viscosité dynamique du gaz

Patm (Pa) : pression atmosphérique

P (Pa) : pression d'entrée appliquée

Avantage:

faible viscosité et donc moindre surpression pour un debit donné

Inconvenient:

compressibilité du gaz qui ne permet pas vitesse bebit massique explicite

On peut aussi déterminer la perméabilité intrinsèque selon Klinkenberg

(effet de compressibilité)

$$K = K_{\text{int}} \left(1 + \frac{\beta}{P_{moy}} \right)$$

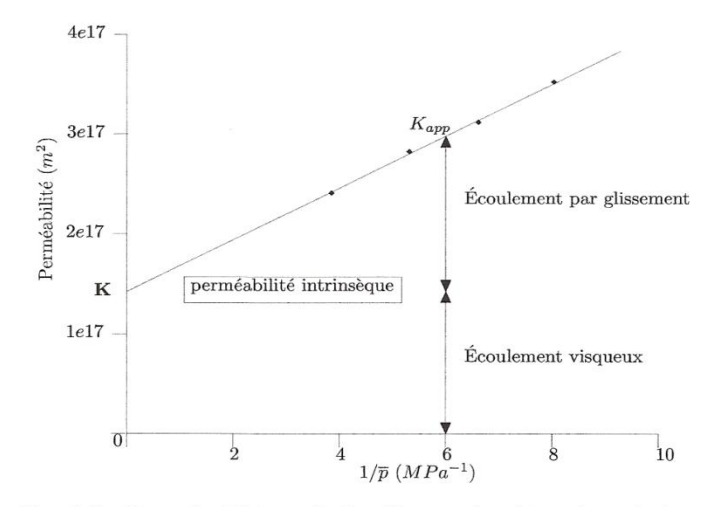


Fig. 3.9 – Exemple et interprétation d'un graphe obtenu à partir des mesures expérimentales de perméabilité selon l'approche de Klinkenberg

Kint (m²): perméabilité intrinsèque

Pmoy (Pa): pression moyenne d'essai

β : constante de klinkenberg

La perméabilité a l'eau

 Consiste a saturer en eau une éprouvette et appliquer une pression croissante et mesurer la quantité d'eau traversé





• Calcul de la perméabilité à l'eau

Relation de KATZ et THOMPSON

$$K = \frac{d_c^2 D_{Ch,sat}}{122 D_{Ch}}$$

Dc : diamètre de pores critique = diamètre mini des pores qui sont connectés = point d'inflexion de la courbe d'intrusion de mercure

Dch : coefficient de diffusion des ions chlorures

Dch,sat: coefficient de diffusion des ions chlorures en milieu saturé

Avantage:

incompressibilité

Inconvenient:

Forte viscosité et donc forte surpression \rightarrow risque fracturation/fissuration

2-3 Perméabilité-Porosité



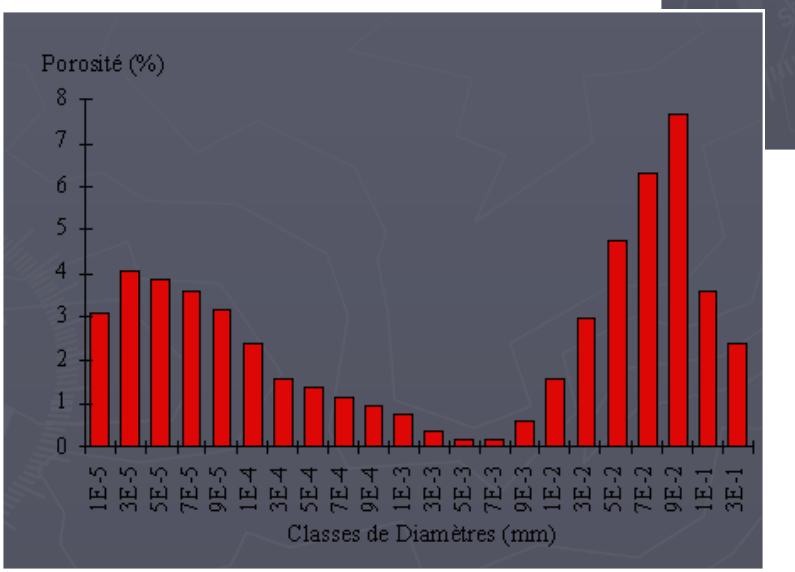
(perméabilité au mercure)

Loi de Laplace

$$\Delta P = \sigma \left(\frac{1}{r_1} + \frac{1}{r_2} \right)$$

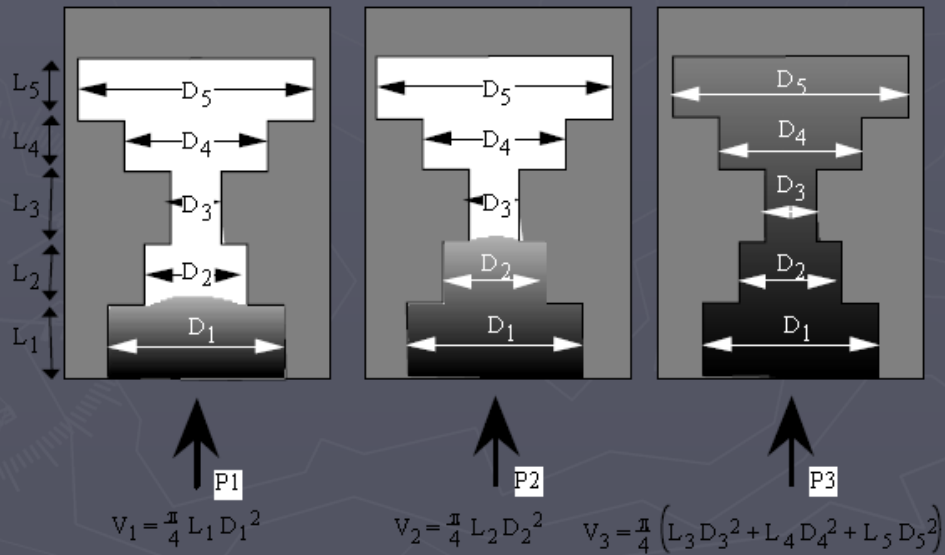
$$\Delta P = \frac{2\sigma}{r}$$

où r1 et r2 sont les deux rayons de courbure principaux de la surface au point considérés. Il sont égaux à r dans le cas de calotte sphérique.



Porosimétrie d'invasion

La technique de mesure consiste à placer un échantillon préalablement déssaturé sous vide dans une enceinte puis à forcer son imbibition par le mercure en faisant croître la pression. Le volume de mercure entrant dans l'enceinte pour une pression donné correspond au volume des pores envahis. Les effets capillaires ne permettent l'entrée du mercure que lorsque l'on "crève" le ménisque, la pression d'injection peut donc être reliée directement au diamètre d'entrée des pores. En augmentant la pression par paliers successifs, on suppose l'invasion de pores de diamètres de plus en plus petits.



Accès à la distribution

Risque de fracturation (pressiontension de surface/rayon capillaire)

Permeabilité : interconnection des pores, tailles, tortuosité etc.. Relation entre perméabilité et diffusivité massique

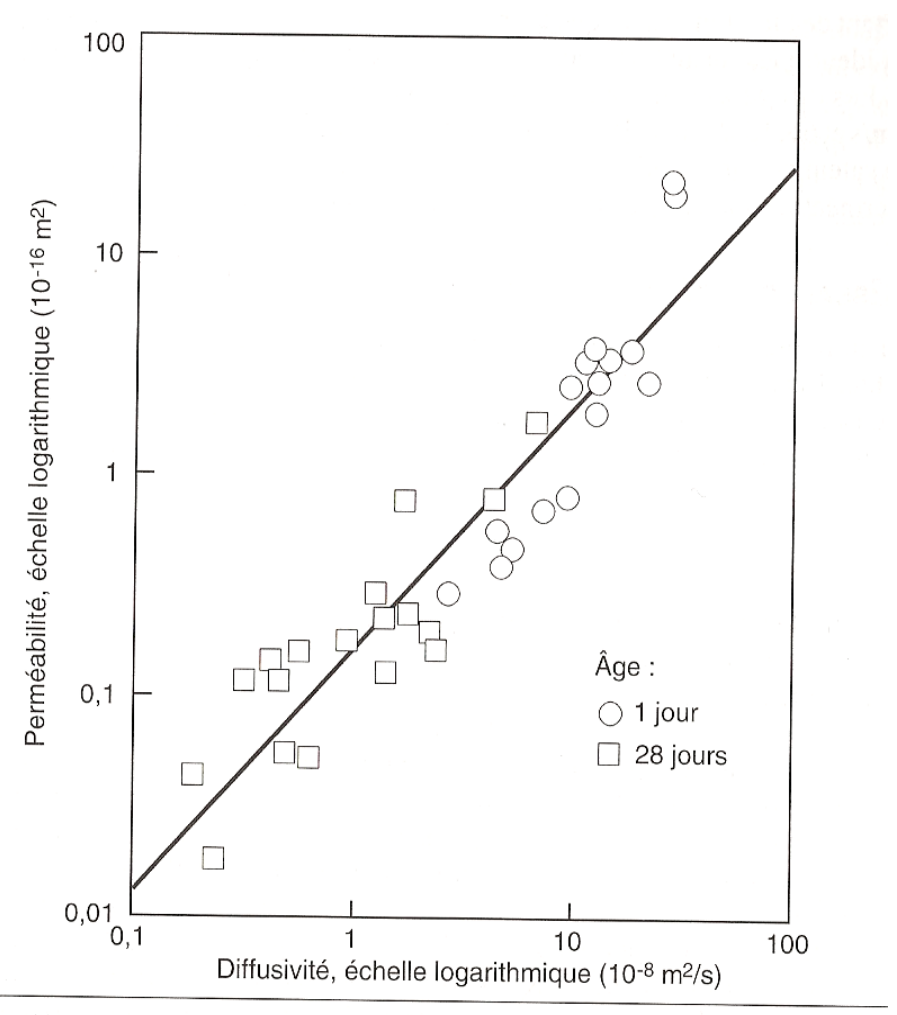


Figure 10.5. Relation entre la perméabilité intrinsèque et la diffusivité du béton^{10.52}

Relations porosité-perméabilité

Milieux poreux non consolidé constitué d'éléments identiques de géométrie simple

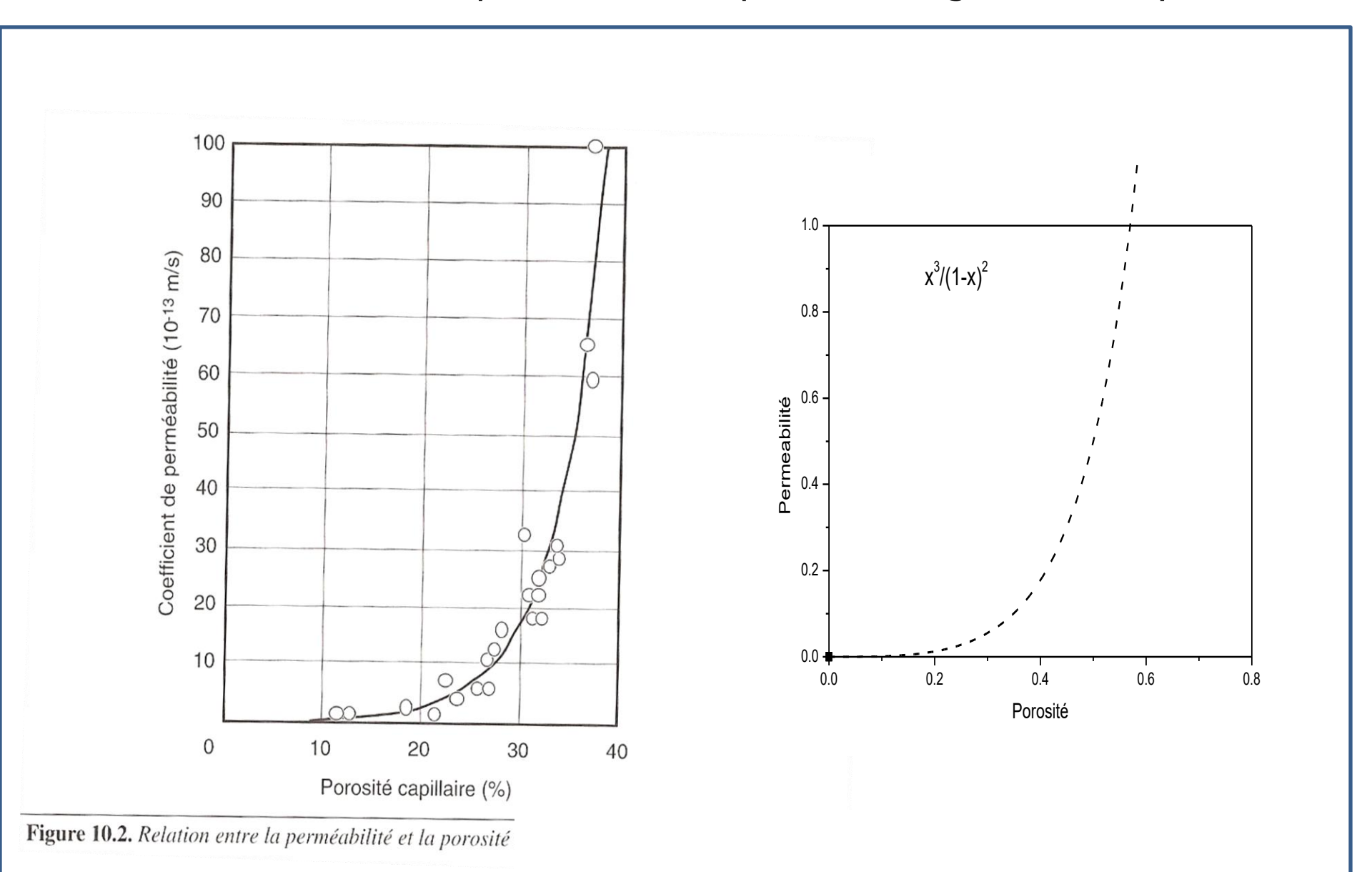
En considérant l'écoulement unidirectionnel d'un fluide incompressible

La relation de Kozeny-Cal
$$K = \frac{d^2 \varepsilon^3}{A(1-\varepsilon)^2}$$

La relation d' Ergun

$$K = \frac{d^2 \varepsilon^3}{150(1-\varepsilon)^2}$$

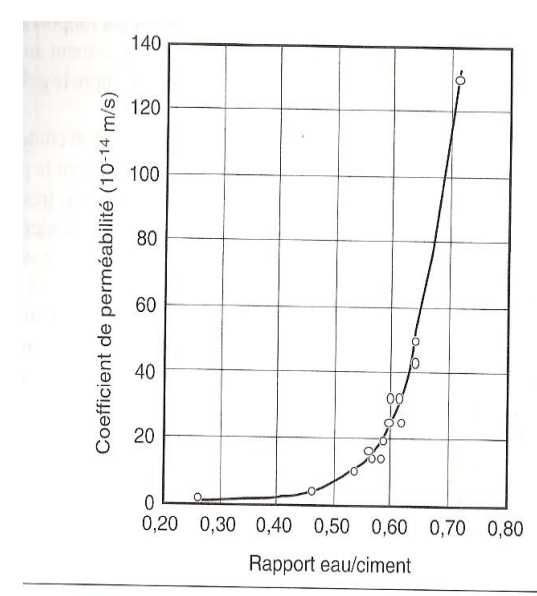
Relation entre perméabilité et porosité : Ergun ou Kozny



47

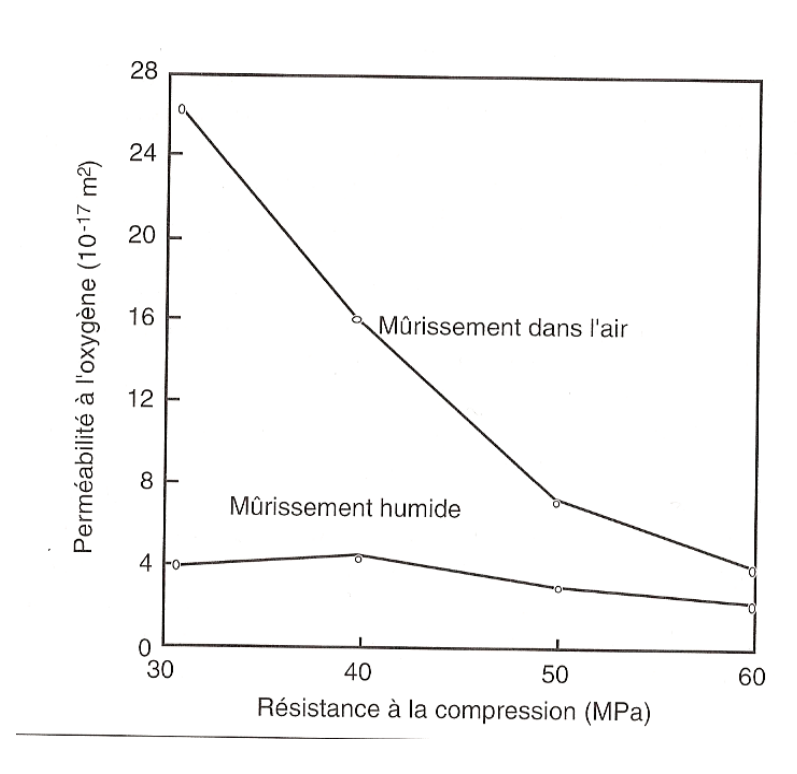
Exemple béton :

Relation entre perméabilité et le rapport E/C qui corrèle bien la porosité



Relation entre la perméabilité et le rapport eau/ciment de pâtes de ciment à maturité (ciment hydraté : 93 %)^{10,5}

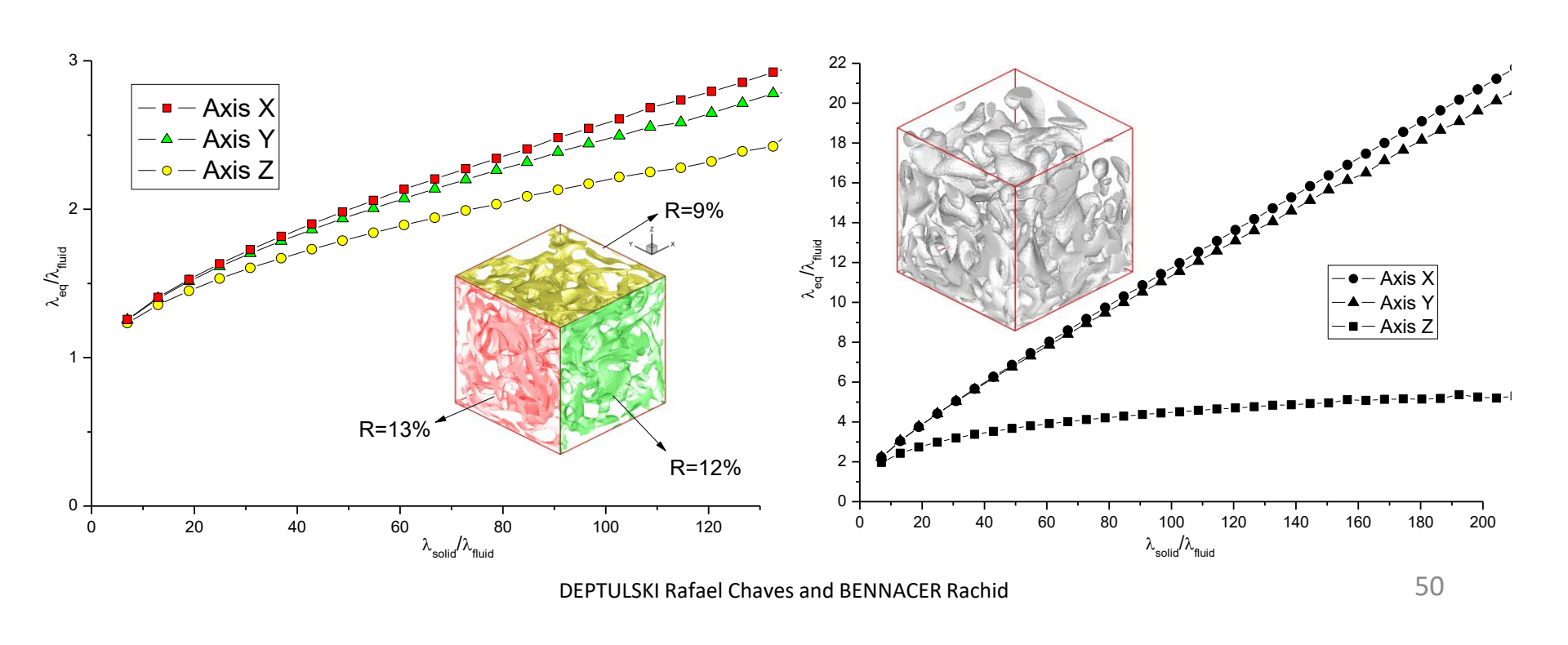
Relation entre perméabilité et résistance a la compression



Conclusion

- Complexité géometrique
- Interdependence
- Reconstruction
- Phenomenologie

Results and discussion



The Nusselt number for the x, y and z axis and their respective contact surface areas in an homogeneous and an inhomogeneous structure respectively.

Numerical finite volume method

Continuity equation

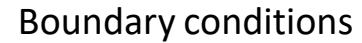
$$\nabla \vec{V} = 0$$

Momentum equation

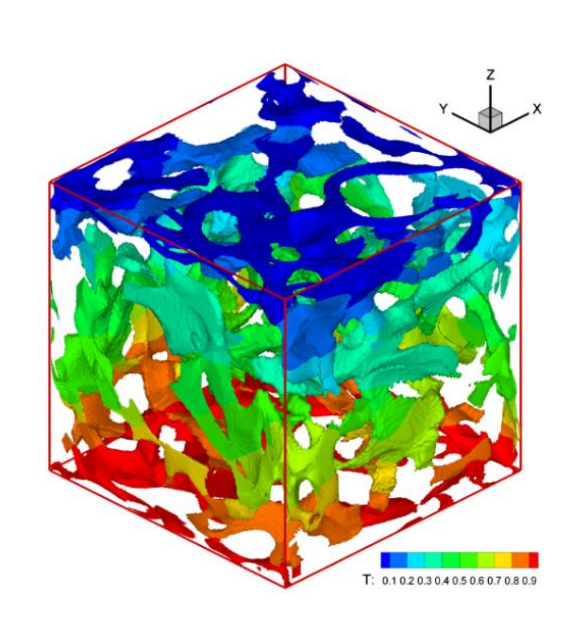
$$\frac{\partial \vec{V}}{\partial t} + (\vec{V} \cdot \vec{V})\vec{V} = -\vec{\nabla}P + \frac{1}{Re}\vec{V}(\mu^*\vec{V}\vec{V}) + \frac{1}{Da}\vec{V} + \frac{Ra}{PrRe^2}(\theta + NS)\vec{k}$$

Energy equation

$$\frac{\partial \theta}{\partial t} + \vec{V} \cdot \nabla \theta = \frac{1}{Pr} \nabla (\lambda^* \nabla \theta)$$

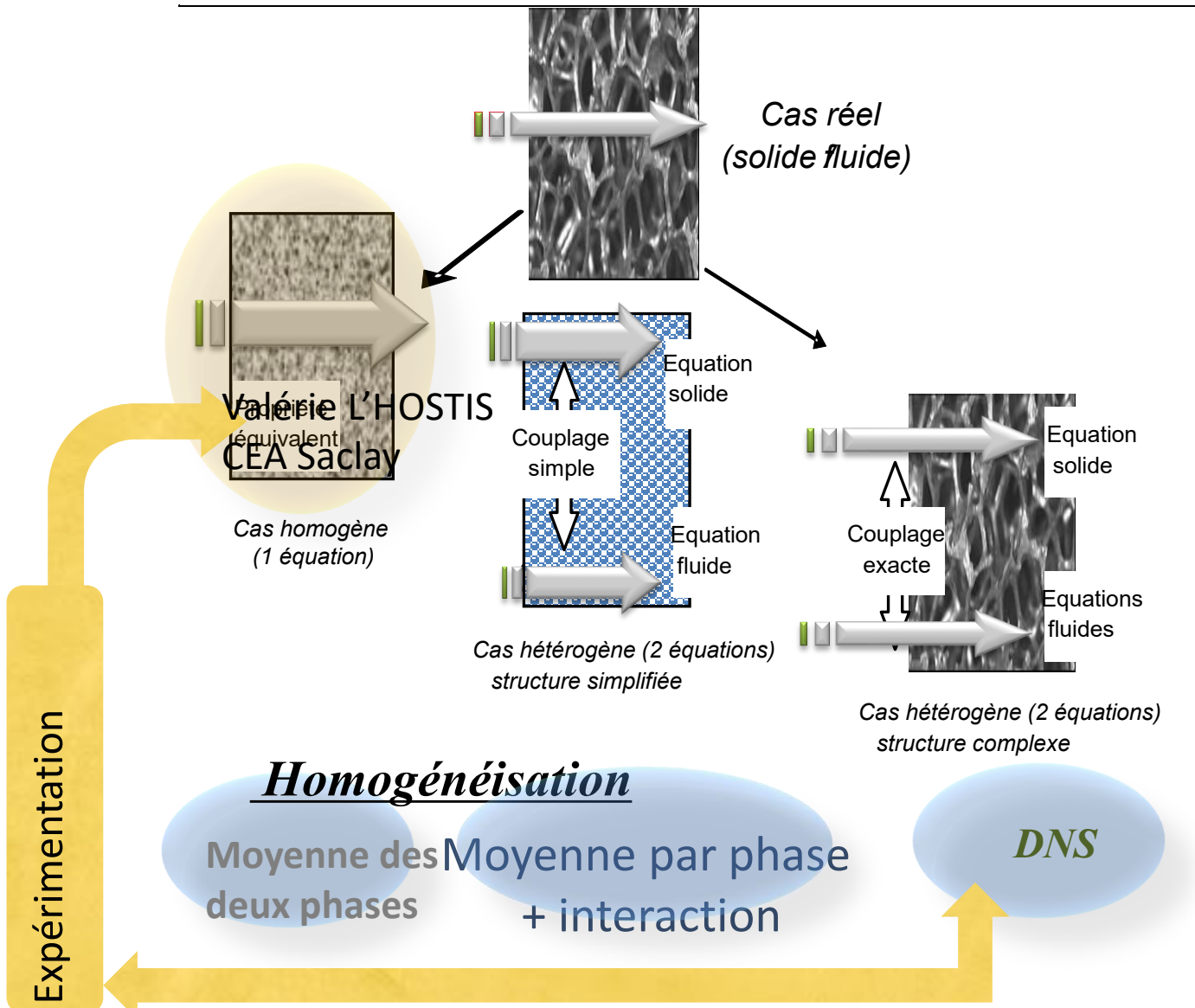


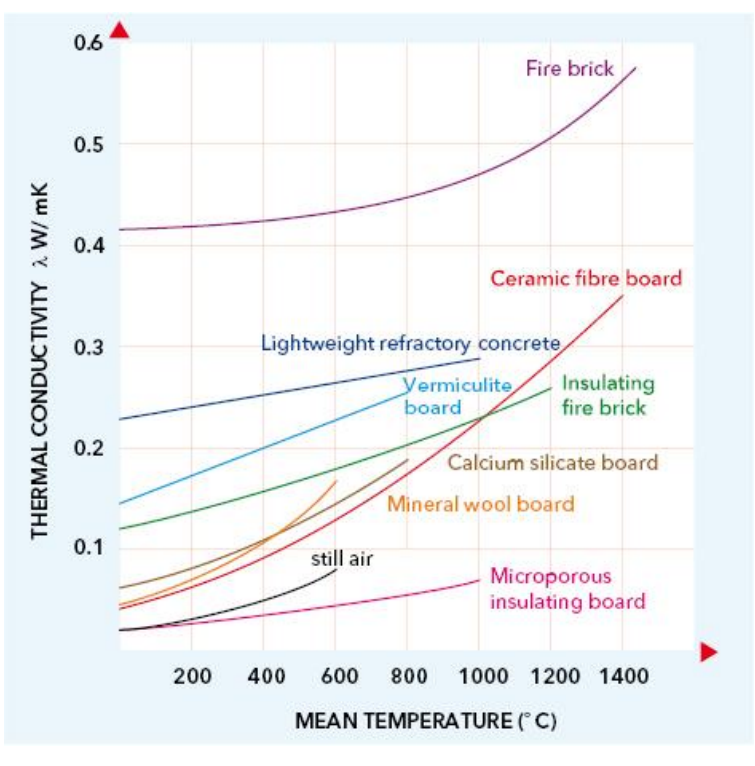
$$\theta_s = \theta_f$$
 \therefore $\frac{\partial \theta_f}{\partial n} = \lambda^* \frac{\partial \theta_s}{\partial n}$

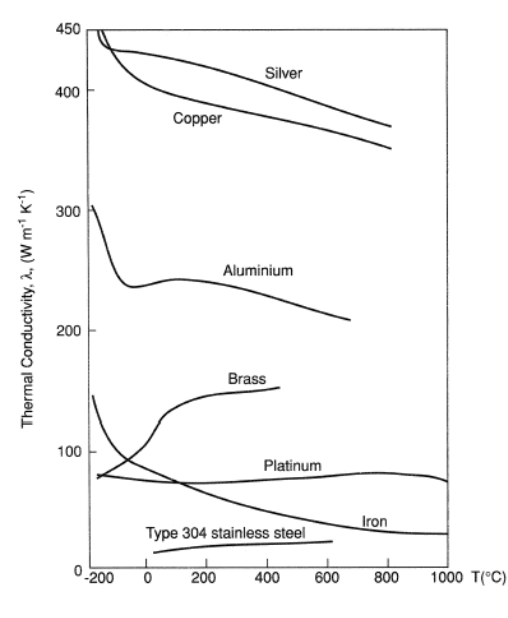


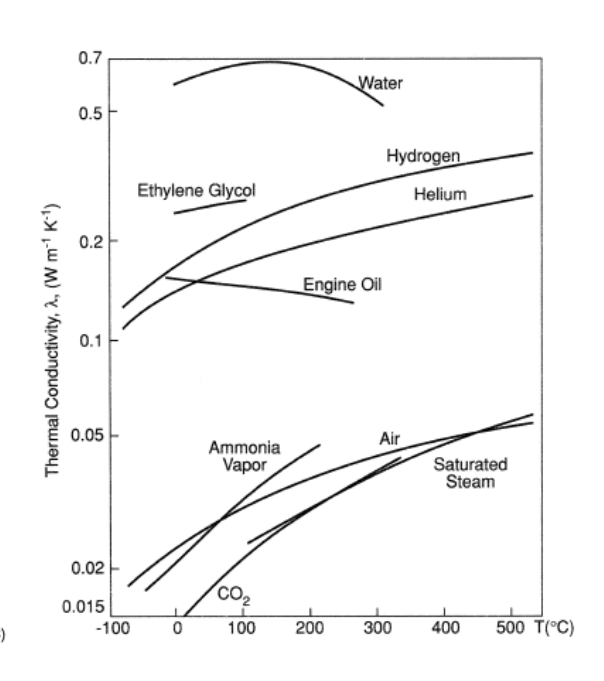
Stratégie mise en oeuvre

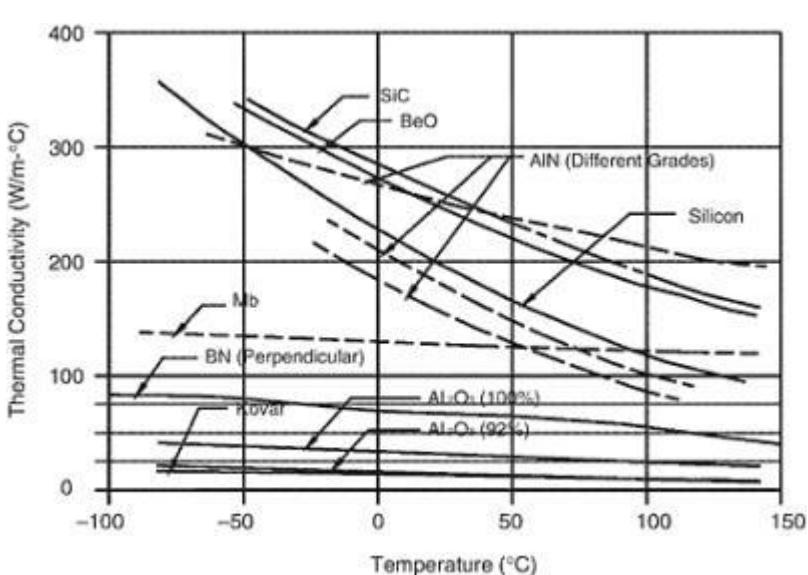
Caractérisation microstructurale ou nano-struct??











Dépendance with T and P !!! How to predict?

Variables adaptées

• 555

Relations porosité-perméabilité

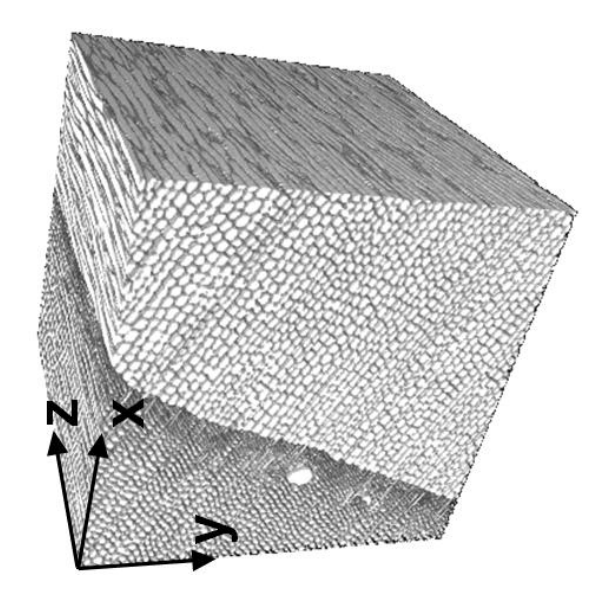
Milieux poreux non consolidé constitué d'éléments identiques de géométrie simple

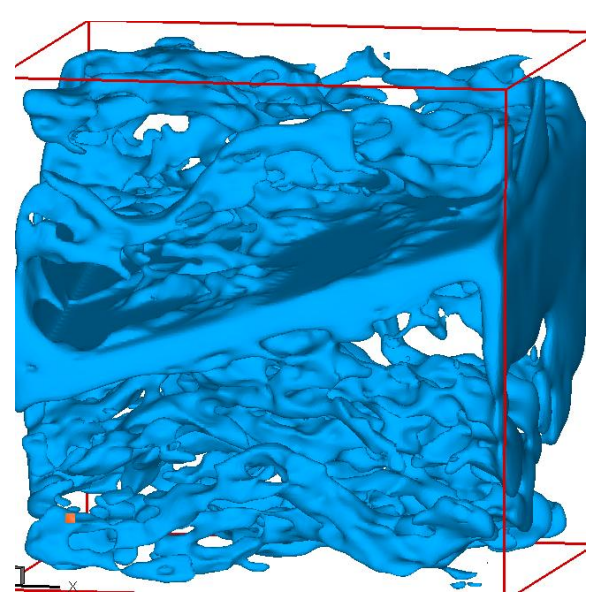
En considérant l'écoulement unidirectionnel d'un fluide incompressible

La relation de Kozeny-Cal
$$K = \frac{d^2 \varepsilon^3}{A(1-\varepsilon)^2}$$

La relation d' Ergun

$$K = \frac{d^2 \varepsilon^3}{150(1-\varepsilon)^2}$$





DNS

Experimentation numérique

La connaissance de la structure La resolution des grandeurs conservés

L'identification du paramètre phénoménologique sur la base de la condition aux limites moyenne imposée et de la conséquence (flux) moyenne quantifiée

II-4-b Ecoulement transitoire en M.P.

suivi d'injection ou de remplissage d'un MP; Darcy est une loi phénoménologique <u>stationnaire</u>

 Le régime transitoire est accéssible en combinant la loi de Darcy et l'équation de continuité (conservation de la masse)

$$\vec{\nabla}^* = -\frac{K^{\text{mod}}}{\mu} \vec{\nabla}(H)$$

$$\frac{\partial \rho}{\partial t} + \operatorname{div}(\rho \boldsymbol{v}) = \frac{\mathrm{d}\rho}{\mathrm{d}t} + \rho \operatorname{div} \boldsymbol{v} = 0$$

Darcy + équation de continuité

$$\frac{\partial \rho}{\partial t} + \nabla \left(\rho V \right) = 0$$

Cas unidirectionnel

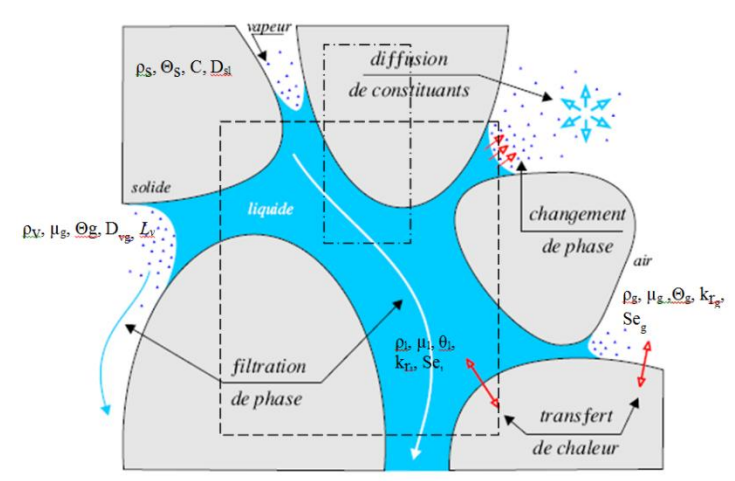
$$\frac{\partial \theta}{\partial t} = -\frac{\partial}{\partial z} \left(K \left(1 - \frac{\partial h}{\partial z} \right) \right)$$

Capacité capillaire. C_p(h) =



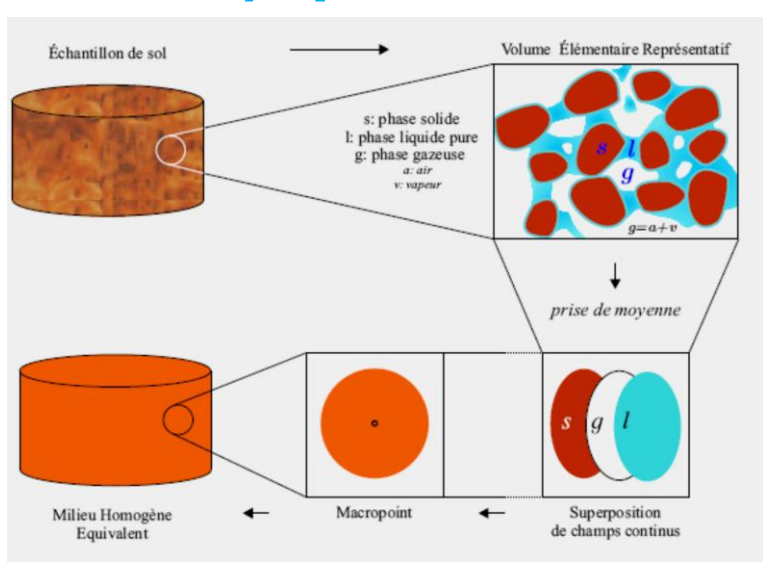
Equation de Richards

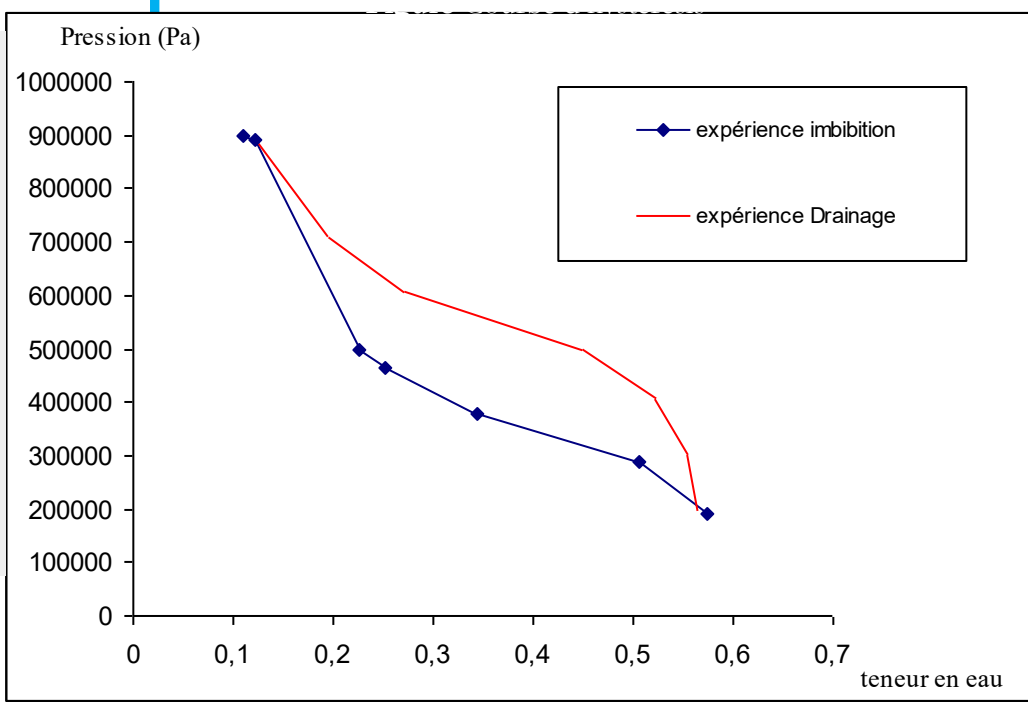
$$C_{p} \frac{\partial h}{\partial t} = \frac{\partial}{\partial z} \left[K \left(\frac{\partial h}{\partial z} - 1 \right) \right]$$



II-4-c Cas non

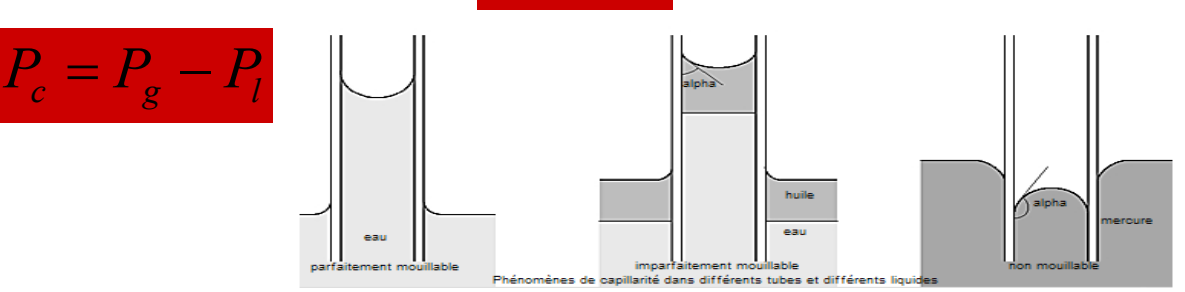
saturé/pression capillaire





Teneur en eau volumique

$$\theta_l = \frac{V_l}{V_{sol}}$$

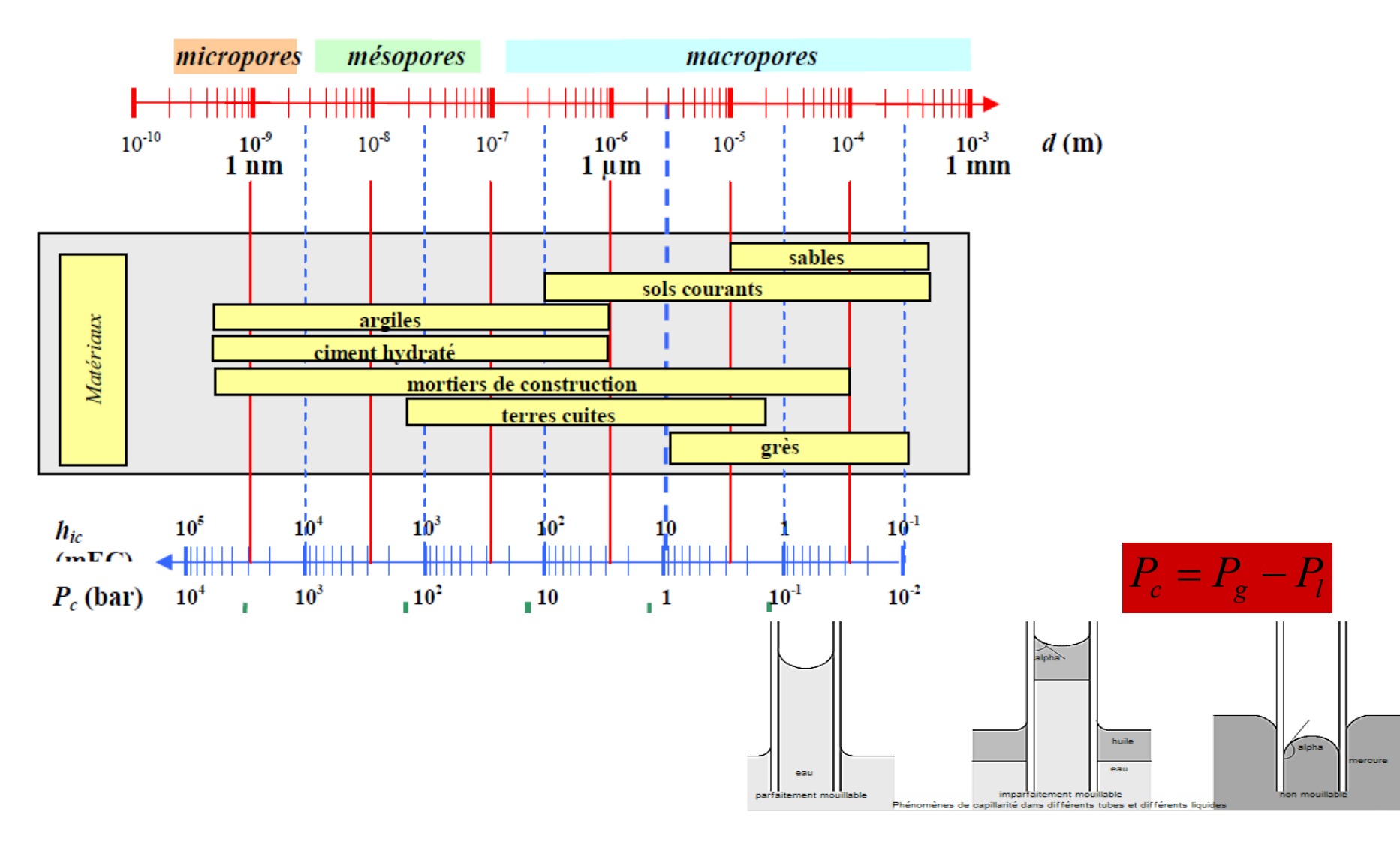


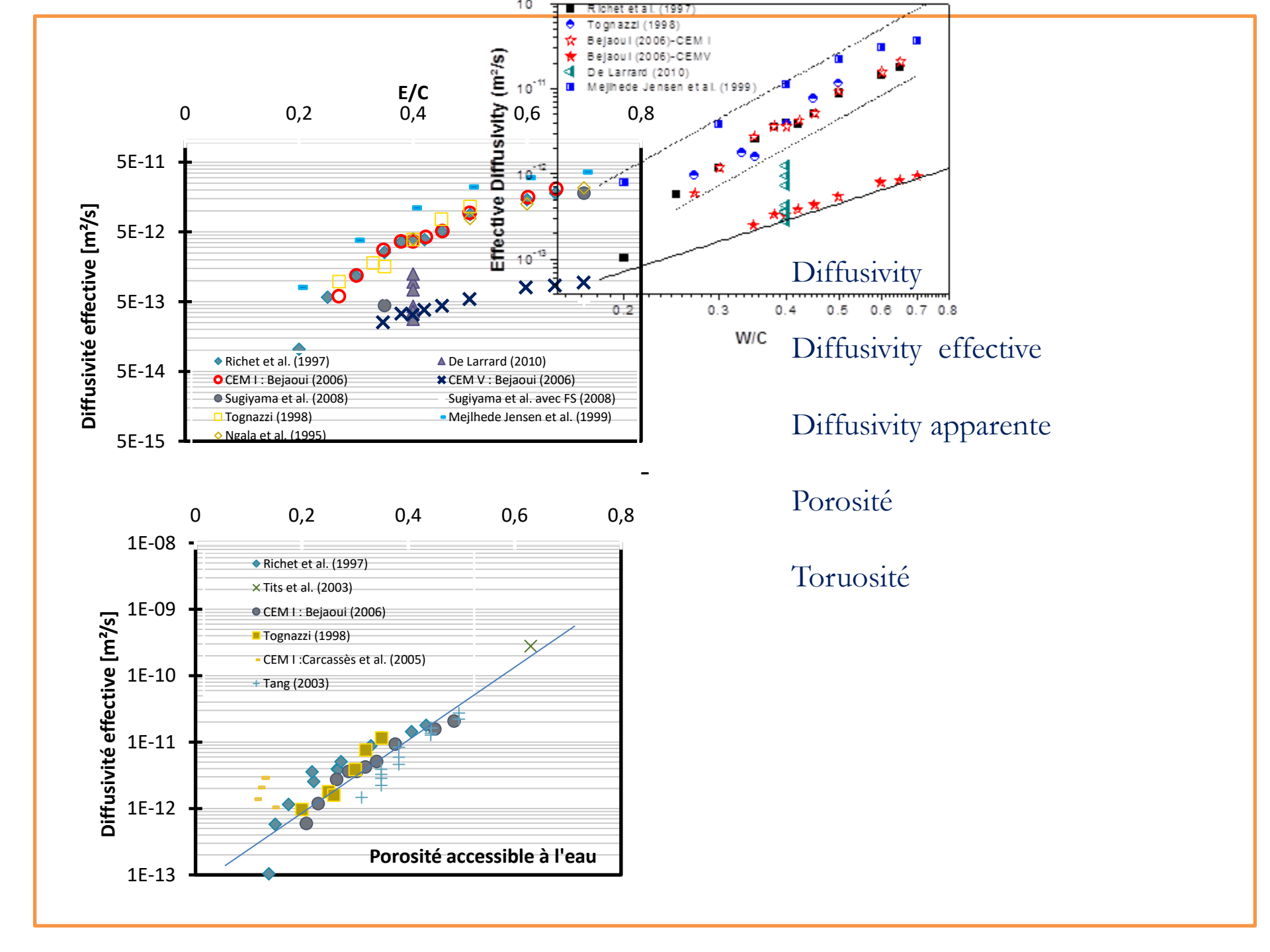
 P_c : pression capillaire

 P_{l} : pression liquide

 P_g : pression gaz

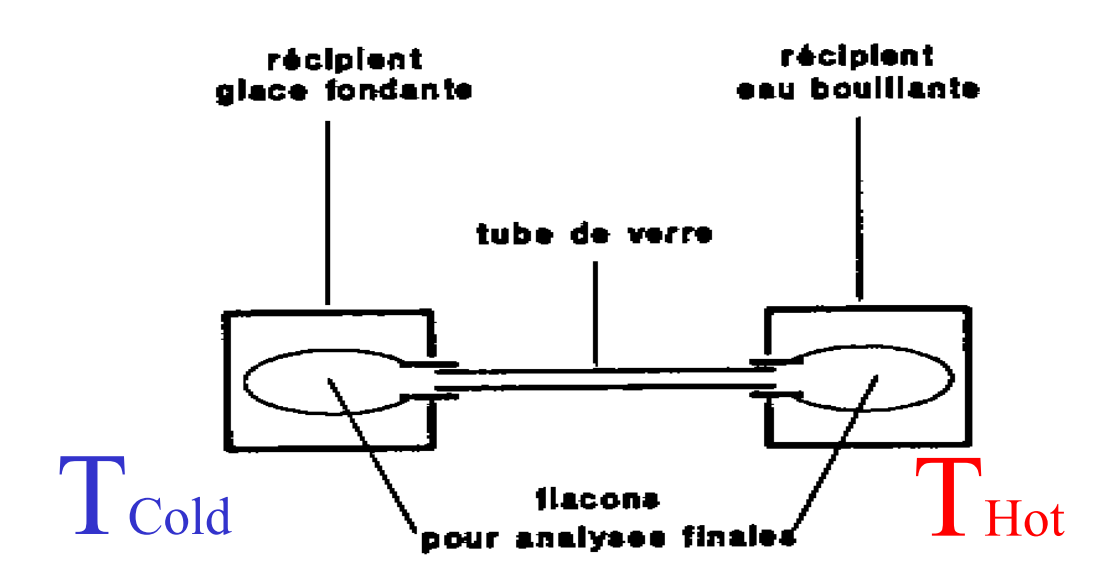
Comparatif pores et <u>Pression capillaire</u> (cas eau-air)



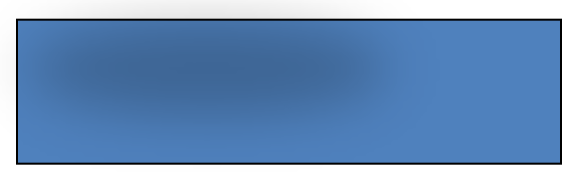


Effet Soret Définition





Ch. Soret, Etat d'équilibre des dissolutions dont deux parties sont portées à des températures différentes *Archives des Sciences Physiques et Naturelles de Genève*], t.II, p. 48-61.(1879)



Homogeneous concentration



Separating process

$$\begin{aligned} Fick & Soret \\ j &= -\rho \bigg(D \frac{\partial C}{\partial x} + D_T C (1 - C) \frac{\partial T}{\partial x} \bigg) \\ & \varepsilon \frac{\partial C^*}{\partial t} + V^* . \, \nabla C^* = \nabla . \Big(D_C \nabla C^* + D_T \, \nabla T^* \Big) \end{aligned}$$

$$dE = TdS - PdV + \sum_{j=1}^{r} \mu_j dN_j$$
 (24)

Nous retrouvons l'expression familière de la différentielle totale de l'énergie interne dE. Ici, nous avons supposé que le nombre de particules de chaque constituant pouvait varier, ce qui induit bien entendu des changements dans l'énergie interne. Pour un système homogène à un constituant, dont le nombre de particules ne varie pas, nous retrouvons l'expression bien connue :

$$dE = TdS - PdV (25)$$

Cette expression ne s'applique qu'aux transformations quasistatiques. Elle est aussi égale à :

$$dE = TdS - PdV = \delta Q + \delta W \tag{26}$$

grandeur extensive est une fonction homogène du premier ordre. Si λ est un paramètre quelconque, cette propriété s'exprime par la relation :

$$E(\lambda S, \lambda V, \lambda N) = \lambda E(S, V, N) \tag{27}$$

Si nous dérivons l'expression précédente par rapport à λ , on obtient :

$$S\left(\frac{\partial E(\lambda S, \lambda V, \lambda N)}{\partial(\lambda S)}\right)_{V,N} + V\left(\frac{\partial E(\lambda S, \lambda V, \lambda N)}{\partial(\lambda V)}\right)_{S,N} + N\left(\frac{\partial E(\lambda S, \lambda V, \lambda N)}{\partial(\lambda N)}\right)_{S,V} = E(S, V, N)$$
(28)

Cette équation est valable quelle que soit la valeur du paramètre λ , en particulier pour $\lambda = 1$. Dans ce cas, on obtient :

$$E = S \left(\frac{\partial E}{\partial S} \right)_{V,N} + V \left(\frac{\partial E}{\partial V} \right)_{S,N} + N \left(\frac{\partial E}{\partial N} \right)_{S,V}$$
 (29)

En utilisant les équations (20-22), on trouve :

$$E = TS - PV + \mu N \tag{30}$$

L'expression ci-dessus s'appelle la forme d'Euler de l'énergie interne.

partir de l'énergie interne après une transformation appropriée (appelée transformation de Legendre). Nous citerons brièvement ces nouvelles fonctions d'état pour mémoire. Si les variables utilisées sont S, V, N_1 ,..., N_r , on utilise, comme nous l'avons vu plus haut, l'énergie interne E:

$$E = E(S, V, N_1, ..., N_r)$$
 (31)

et:

$$dE = TdS - PdV + \sum_{j=1}^{r} \mu_j dN_j$$
(32)

Si l'on travaille à pression constante, on utilise les variables $S, P, N_1, ..., N_r$ et on introduit l'*enthalpie H*:

$$H = H(S, P, N_1, ..., N_r) = E + PV = TS + \sum_{j=1}^{r} \mu_j N_j$$
 (33)

et:

$$dH = TdS + VdP + \sum_{j=1}^{r} \mu_j dN_j$$
(34)

À température constante, il est commode d'employer les variables T, V, $N_1,...$, N_r et d'utiliser l'énergie libre F:

$$F = F(T, V, N_1, ..., N_r) = E - TS = -PV + \sum_{j=1}^{r} \mu_j N_j$$
 (35)

et:

$$dF = -SdT - PdV + \sum_{j=1}^{r} \mu_j dN_j$$
(36)

En chimie, on travaille souvent à pression et température constantes. Les variables utilisées sont T, P, N_1 ,..., N_r . On introduit l'*enthalpie libre G*:

$$G = G(T, P, N_1, ..., N_r) = E + PV - TS = \sum_{j=1}^{r} \mu_j N_j$$
 (37)

et:

$$dG = -SdT + VdP + \sum_{j=1}^{r} \mu_j dN_j$$
(38)

Avec les nouvelles fonctions d'état introduites ci-dessus, la recherche de l'équilibre thermodynamique avec contraintes sur certains des paramètres externes devient alors plus simple :

Pour un système en contact avec un thermostat dont la température est T, l'équilibre thermodynamique est obtenu en minimisant l'énergie libre F. De manière analogue, lorsque P et T sont fixés (cas fréquent en chimie), on a équilibre thermodynamique lorsque G est minimum.

L'enthalpie libre (ou énergie libre de Gibbs, ou simplement énergie de Gibbs) est une fonction d'état introduite par Willard Gibbs, et généralement notée G. Elle est associée au deuxième principe de la thermodynamique, principe d'évolution des systèmes physicochimiques.

Le second principe énonce que toute transformation réelle s'effectue avec création d'entropie, c'est-à-dire que le bilan entropique, correspondant à la somme des variations d'entropie du système et du milieu extérieur, est positif.

$$S_{cré\acute{e}e} = \Delta S_{\rm sys} + \Delta S_{\rm ext} > 0$$

La fonction entropie peut être utilisée pour l'étude de l'évolution d'un système thermodynamique. En effet pour un système isolé l'entropie passe par un maximum à l'équilibre donc toute évolution doit aller dans ce sens.

En général, intuitivement on pense qu'un équilibre est atteint lorsque l'énergie est minimale. C'est le cas de l'énergie potentielle (gravitation, électromagnétisme, etc.). Dans le cas de l'entropie, il faut étudier en plus du système, l'évolution de l'entropie du milieu extérieur.

Gibbs a défini une nouvelle fonction qui prend en compte ces deux remarques.

L'enthalpie libre G se comporte en effet comme une fonction potentielle et intègre le comportement du milieu extérieur. De plus elle est la fonction d'état la plus appropriée pour étudier les équilibres chimiques réalisés à température T et à pression P constantes, ce qui est le lot de nombreuses réactions effectuées à l'air libre, à la pression atmosphérique.

Potentiels thermodynamiques

Énergie interne

Énergie libre

$$F(V,T,n) = U - TS$$

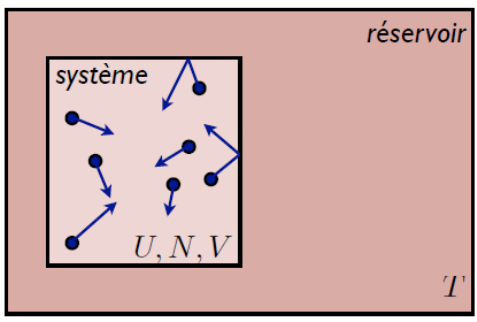
Enthalpie

$$H(P, S, n) = U + PV$$

Enthalpie libre

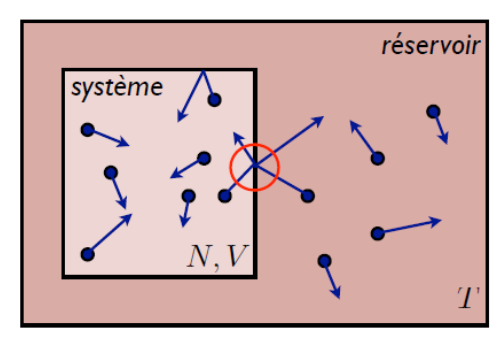
$$G(P,T,n) = U + PV - TS$$

Ensemble microcanonique



réservoir = thermostat $\begin{array}{l} \mbox{ni échange d'énergie} \\ \mbox{ni échange de particules} \\ \mbox{} \Delta U = 0 \quad \Delta N = 0 \\ \end{array}$

Ensemble canonique



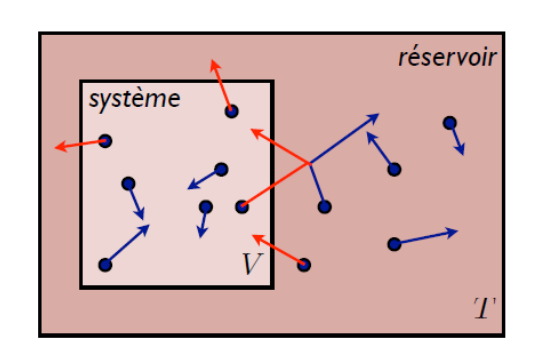
réservoir = thermostat

échange d'énergie
pas d'échange de particules

 $\Delta U \neq 0 \quad \Delta N = 0$

Récapitulatif

Ensemble grand canonique



réservoir = thermostat échange d'énergie échange de particules $\Delta U \neq 0 \quad \Delta N \neq 0$

microcanonique	U,V,N	$\Omega = \sum_i 1$	$S = k_B \ln \Omega$
canonique	T, V, N	$Z = \sum_{j} \sum_{i} \exp\left(\frac{-U_{j}}{k_{B}T}\right)$	$F = -k_B T \ln Z$
grand canonique	T, V, μ	$Q = \sum_{N} \exp\left(\frac{N\mu}{k_B T}\right) Z$	$\mathcal{J} = -k_B T \ln Q$ $\mathcal{P}V = k_B T \ln Q$